

Verfasser:	Dipl.- Ing. Michael Marbeck - 48301 Nottuln Ingenieurbüro für Tragwerksplanung	
Bauvorhaben:	Dresden	Datum: 03.08.2023

Statische Berechnung

Bauherr

Eigenbetrieb Stadtentwässerung
Landeshauptstadt Dresden

Bauvorhaben

Dresden
Industriesammler Nord
zw. Kläranlage Kaditz und Radeburger Straße

Bauteil

Bauwerk - BW_10H120

Planung

ACI - Aquaprojekt Consult
Ingenieurgesellschaft mbH
Gottfried-Keller-Str. 13
01157 Dresden

Aufsteller

ingenieurbüro marbeck

diplom-ingenieur michael marbeck



Nottuln im August 2023

Bauteil:	BW_10H120	Seite: 1
----------	-----------	----------

Verfasser:	Dipl.- Ing. Michael Marbeck - 48301 Nottuln Ingenieurbüro für Tragwerksplanung	
Bauvorhaben:	Dresden	Datum: 03.08.2023

Vorbemerkungen	3
Berechnungsgrundlagen	3
Baustoffe	3
Bodenkennwerte	3
Vorschriften und Regelwerke	4
Nachweis der Sicherheit gegen Aufschwimmen (UPL)	5
Einwirkungen	6
Ermüdungsnachweis	7
Bemessung Deckenplatte	11
Bemessung Deckenplatte mit dem Ermüdungslastmodell	21
Bemessung Wand 1	31
Bemessung Wand 2	38
Bemessung Bodenplatte	46
Linienlasten Fundament	58
Bemessung Fundament	59

Bauteil:	BW_10H120	Seite: 2
----------	-----------	----------

Verfasser:	Dipl.- Ing. Michael Marbeck - 48301 Nottuln Ingenieurbüro für Tragwerksplanung	
Bauvorhaben:	Dresden	Datum: 03.08.2023

Vorbemerkungen

Diese statische Berechnung befasst sich mit den Standsicherheitsnachweisen für den Neubau des Bauwerkes BW_10H120 im Zuge der Baumaßnahme **"Industriesammler Nord in Dresden"**. Das Schachtbauwerk wird als Ortbeton - Bauwerk hergestellt. Sämtliche Stahlteile sind nicht Bestandteil dieser Berechnung.

Die Überdeckungshöhe beträgt

$$h_{\bar{u}} = 0,27 \text{ m}$$

Berechnungsgrundlagen

Grundlage der Berechnung ist die Ausführungsplanung des Ingenieurbüros ACI - Aquaprojekt Consult Ingenieurgesellschaft mbH.

Baustoffe

Beton C 40 / 50 XA2, XC4, XF3, WF

Betondeckung $c_v = 50 \text{ mm}$

Rissweitenbeschränkung $w_k = 0,20 \text{ mm}$

Bodenkennwerte

Die Bodenkennwerte werden dem Baugrundgutachten des Ingenieurbüros analytec Dr. Steinhau entnommen.

Folgende Werte werden der Berechnung zugrunde gelegt:

Der maximale Grundwasserstand wird bei 135,55 mNN (Oberkante Gelände) angenommen.

Die zulässige Sohlspannung wird mit

$$\sigma_{RD} = 400,00 \text{ kN/m}^2$$

festgesetzt.

$$\gamma = 20,00 \text{ kN/m}^3$$

$$\gamma' = 11,00 \text{ kN/m}^3$$

$$\varphi = 25,00^\circ$$

Ein Nachweis zu Auswirkungen aus Erdbeben muss bei dieser Art von Schachtbauwerken (allseitig gebettet / Einsatz von hochduktilen Betonstahl (B)) nicht geführt werden.

Bauteil:	BW_10H120	Seite: 3
----------	-----------	----------

Verfasser:	Dipl.- Ing. Michael Marbeck - 48301 Nottuln Ingenieurbüro für Tragwerksplanung	
Bauvorhaben:	Dresden	Datum: 03.08.2023

Vorschriften und Regelwerke

Literatur

- Prof. Dr.-Ing. Wommelsdorf
Stahlbetonbau, Bemessung und Konstruktion
Teil 1, 7. Auflage 2002 / Teil 2, 6. Auflage 2003
- Schneider, Bautabellen für Ingenieure, 19. Auflage 2010
- Betonkalender, diverse Jahrgänge
- Lohmeyer, G.: Weiße Wannen, einfach und sicher;
Düsseldorf: Beton - Verlag 1994

Merkblätter

- DBV - Merkblatt: Wasserundurchlässige Baukörper aus Beton
- DBV - Merkblatt: Begrenzung der Rissbildung im Stahlbeton- und Spannbetonbau

Normen

- DIN EN 1990: 2010 - 12 Eurocode 0: Grundlagen der Tragwerksplanung
- DIN EN 1990/NA: 2010 - 12 Nationaler Anhang
- DIN EN 1991-1-1: 2010 - 12 Eurocode 1: Einwirkungen auf Tragwerke
- DIN EN 1991-1-1/NA: 2010 - 12 Nationaler Anhang
- DIN EN 1991-1-5: 2010 - 12 Eurocode 1: Einwirkungen auf Tragwerke
- DIN EN 1991-1-5/NA: 2010 - 12 Nationaler Anhang
- DIN EN 1991-2: 2010 - 12 Eurocode 1: Einwirkungen auf Tragwerke
- DIN EN 1991-2/NA: 2010 - 08 Nationaler Anhang
- DIN EN 1992-1-1: Eurocode 2, Teil 1-1
- DIN EN 1997-1-NA Eurocode 7; Nationaler Anhang

EDV

Die Bemessung erfolgt mit dem Programm "MicroFe" der Firma mb AEC-Soft.

Bauteil:	BW_10H120	Seite: 4
----------	-----------	----------

Verfasser:	Dipl.- Ing. Michael Marbeck - 48301 Nottuln Ingenieurbüro für Tragwerksplanung	
Bauvorhaben:	Dresden	Datum: 03.08.2023

Nachweis der Sicherheit gegen Aufschwimmen (UPL)

Die Eigengewichte werden nach DIN 1202, 5.1 Tabelle 2 auf 24 kN/m³ reduziert.

$$F_G = 624,00 \text{ kN}$$

$$F_{\text{Boden}} = (16,660 - 8,42) * 0,270 * 10,00 = 22,25 \text{ kN}$$

$$F_{\text{stb}} = \frac{F_G}{25} * 24 + F_{\text{Boden}} = \underline{621,29 \text{ kN}}$$

Verdrängungskörper

$$\text{Grundwasserstand, } h_W = 135,55 - 132,64 = 2,91 \text{ m}$$

$$\text{Auftriebskraft Wasser, } F_{\text{dst}} = 4,90 * 3,40 * (h_W - 0,27) * 10 = 439,82 \text{ kN}$$

$$\eta = \frac{F_{\text{dst}} * 1,05}{F_{\text{stb}} * 0,95} = \frac{439,82 * 1,05}{621,29 * 0,95} = 0,78 < 1$$

Das Bauwerk BW_10H120 ist bei einem Grundwasserstand von 135,55 mNN (Oberkante Gelände) auftriebssicher.

Bauteil:	BW_10H120	Seite: 5
----------	-----------	----------

Verfasser:	Dipl.- Ing. Michael Marbeck - 48301 Nottuln Ingenieurbüro für Tragwerksplanung	
Bauvorhaben:	Dresden	Datum: 03.08.2023

Einwirkungen

Einwirkung - vertikale Lasten aus Boden

$$g = 0,27 \cdot 11,00 = \underline{2,97 \text{ kN/m}^2}$$

Einwirkung - vertikale Lasten aus Wasser

$$w = 0,27 \cdot 10,00 = \underline{2,70 \text{ kN/m}^2}$$

Einwirkung - vertikale Lasten aus Verkehr (Fahrstreifen 1)

Das Tandemsystem des Lastmodells 1 wird über dem Betonbauteil mit 30°, und im Betonbauteil mit 45° verteilt.

$$\alpha_{Q1} = 1,00$$

$$Q_{1k} = 300,00 \text{ kN}$$

$$h_{\bar{u}} = 0,270 \text{ m}$$

$$d_D = 0,40 \text{ m}$$

$$a' = 0,40 + 2 \cdot h_{\bar{u}} \cdot \tan(30) + 2 \cdot (d_D/2) \cdot \tan(45) = 1,11 \text{ m}$$

$$b' = 0,40 + 2 \cdot h_{\bar{u}} \cdot \tan(30) + 2 \cdot (d_D/2) \cdot \tan(45) = 1,11 \text{ m}$$

$$\alpha_{Q1} \cdot Q_{1k} = 300,00 \text{ kN}$$

$$q_k'' = 0,90 \cdot 0,5 \cdot Q_{1k} / (a' \cdot b') = \underline{109,57 \text{ kN/m}^2}$$

Lastfall - vertikale Lasten aus Schachtabdeckung

$$P_1 = \frac{150,00 \cdot 0,9}{1 \cdot 1 \cdot 7,40} = \underline{18,24 \text{ kN/m}}$$

$$P_2 = \frac{150,00 \cdot 0,9}{1 \cdot 1 \cdot 7,00} = \underline{19,29 \text{ kN/m}}$$

Der Teilsicherheitsbeiwert für veränderliche Lasten beträgt laut Eurocode $\gamma = 1,35$. Die Software rechnet mit $\gamma = 1,50$. Daher wird die Last mit dem Faktor 0,90 multipliziert.

Bauteil:	BW_10H120	Seite: 6
----------	-----------	----------

Verfasser:	Dipl.- Ing. Michael Marbeck - 48301 Nottuln Ingenieurbüro für Tragwerksplanung	
Bauvorhaben:	Dresden	Datum: 03.08.2023

Ermüdungsnachweis

	<i>Verkehrskategorie</i>	<i>N_{obs} pro Jahr und pro LKW-Fahrstreifen</i>
1:	Autobahnen und Straßen mit 2 oder mehr Fahrstreifen je Fahrt-richtung mit hohem LKW-Anteil	$2 \cdot 10^6$
2:	Autobahnen und Straßen mit mittlerem LKW-Anteil	$0,5 \cdot 10^6$
3:	Hauptstrecken mit geringem LKW-Anteil	$0,125 \cdot 10^6$
4:	Örtliche Straßen mit geringem LKW-Anteil	$0,05 \cdot 10^6$

Tabelle 6 (4.5): Anzahl erwarteter LKW pro Jahr und LKW- Fahrstreifen

Für den Ermüdungsnachweis wird die zulässige Spannungsschwingbreite berechnet.

$$\Phi_{\text{fat}} = 1,2 \text{ (rauhe Oberfläche)}$$

$$\lambda_{s,1} = 1,160$$

$$\lambda_{s,2} = 1,720$$

$$Q = 0,82 \text{ (Lokalverkehr)}$$

$$k_2 = 9,00 \text{ (gerade + gebogene Stäbe)}$$

$$N_{\text{obs}} = 0,500 \text{ (Mio.)}$$

$$\lambda_{s,2} = Q \cdot \left(\frac{N_{\text{obs}}}{2,0} \right)^{\frac{1}{k_2}} = 0,703$$

$$N_{\text{years}} = 100 \text{ Jahre}$$

$$\lambda_{s,3} = \left(\frac{N_{\text{years}}}{100} \right)^{\frac{1}{k_2}} = 1,000$$

$$\lambda_{s,4} = 1,000$$

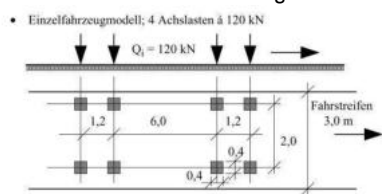
$$\lambda_s = \Phi_{\text{fat}} * \lambda_{s,1} * \lambda_{s,2} * \lambda_{s,3} * \lambda_{s,4} = 0,979$$

$$\text{mit } \Delta\sigma_{\text{Rsk}} = 175 \text{ N/mm}^2:$$

Bauteil:	BW_10H120	Seite: 7
----------	-----------	----------

Verfasser:	Dipl.- Ing. Michael Marbeck - 48301 Nottuln Ingenieurbüro für Tragwerksplanung	
Bauvorhaben:	Dresden	Datum: 03.08.2023

$$\max \Delta \sigma_{s,d} = \frac{175}{1,15 * \lambda_s} = \underline{155,4 \text{ N/mm}^2}$$



Nach DIN EN 1992 - 2 / NA - 2013 - 04, Anhang NA.NN, S108 wird ungünstig der Faktor 1,75 berücksichtigt.

Das Lastmodell 3 wird durch Umrechnung der Lasten aus dem Lastmodell 1 berücksichtigt.

$$p' = 0,40 * 1,40 * 109,57 = \underline{61,4 \text{ kN/m}^2}$$

$$p' = 0,40 * 1,40 * 18,24 = \underline{10,2 \text{ kN/m}^2}$$

$$p' = 0,40 * 1,40 * 19,29 = \underline{10,8 \text{ kN/m}^2}$$

Bauteil:	BW_10H120	Seite: 8
----------	-----------	----------

Verfasser:	Dipl.- Ing. Michael Marbeck - 48301 Nottuln Ingenieurbüro für Tragwerksplanung	
Bauvorhaben:	Dresden	Datum: 03.08.2023

$$k_0 = 1 - \sin(\varphi) = 0,5774$$

$$h_1 = 0,670 \text{ m}$$

$$h_2 = 2,610 \text{ m}$$

Einwirkung - Erddruck

$$e_{01} = k_0 * h_1 * \gamma' = \underline{4,26 \text{ kN/m}^2}$$

$$e_{02} = k_0 * h_2 * \gamma' = \underline{16,58 \text{ kN/m}^2}$$

Einwirkung - Wasserdruck

$$w_1 = h_1 * 10 = \underline{6,70 \text{ kN/m}^2}$$

$$w_2 = h_2 * 10 = \underline{26,10 \text{ kN/m}^2}$$

Einwirkung - Erddruck aus Verkehr

$$x_{\text{oben}} = h_1 * \tan(30) = 0,39 \text{ m}$$

$$x_{\text{unten1}} = h_2 * \tan(30) = 1,51 \text{ m}$$

$$k_{0gh} = 0,500$$

$$e_{q1} = k_{0gh} * \left(\frac{600}{3,00 + 2 * x_{\text{oben}}} \right) * (5,00 + x_{\text{oben}}) + k_{0gh} * 12 = \underline{20,7 \text{ kN/m}^2}$$

$$e_{q2} = k_{0gh} * \left(\frac{600}{3,00 + 2 * x_{\text{unten1}}} \right) * (5,00 + x_{\text{unten1}}) + k_{0gh} * 12 = \underline{13,7 \text{ kN/m}^2}$$

Bauteil:	BW_10H120	Seite: 9
----------	-----------	----------

Verfasser:	Dipl.- Ing. Michael Marbeck - 48301 Nottuln Ingenieurbüro für Tragwerksplanung	
Bauvorhaben:	Dresden	Datum: 03.08.2023

Einwirkung - vertikale Last auf Sohlplatte

$$G_1 = \frac{461,43 + \left(16,66 - 2,65\right) * 0,27 * 11,00}{2 * 2,97 + 2 * 4,45} = \underline{33,90 \text{ kN/m}}$$

$$P_1 = \frac{600,00 + 4,90 * 3,40 * 12,00 + \left(16,66 - 2,65\right) * 0,27 * 10,00}{2 * 2,97 + 2 * 4,45} = \underline{56,45 \text{ kN/m}}$$

$$G_2 = 2,610 * 11,00 = \underline{28,71 \text{ kN/m}^2}$$

$$Q_{1k} = 300,00 \text{ kN}$$

$$h_{\bar{u}} = 2,610 \text{ m}$$

$$d_D = 0,30 \text{ m}$$

$$a' = 0,40 + 2 * h_{\bar{u}} * \text{TAN}(30) + 2 * (d_D / 2) * \text{TAN}(45) = 3,71 \text{ m}$$

Die Radlasten mit einem Achsabstand von 1,20 m überschneiden sich.

$$a'' = a' + 1,20 = 4,91 \text{ m}$$

$$b' = 0,40 + 2 * h_{\bar{u}} * \text{TAN}(30) + 2 * (d_D / 2) * \text{TAN}(45) = 3,71 \text{ m}$$

Die Radlasten mit einem Achsabstand von 2,00 m überschneiden sich.

$$b'' = b' + 2,00 = 5,71 \text{ m}$$

$$\alpha_{Q1} * Q_{1k} = 300,00 \text{ kN}$$

$$q_k'' = 0,90 * 2,00 * Q_{1k} / (a'' * b'') = \underline{19,26 \text{ kN/m}^2}$$

$$w = 2,61 * 10,00 = \underline{26,10 \text{ kN/m}^2}$$

Bauteil:	BW_10H120	Seite: 10
----------	-----------	-----------

Verfasser:	Dipl.- Ing. Michael Marbeck - 48301 Nottuln Ingenieurbüro für Tragwerksplanung	
Bauvorhaben:	Dresden	Datum: 03.08.2023

Bemessung Deckenplatte

System

Positionsplan

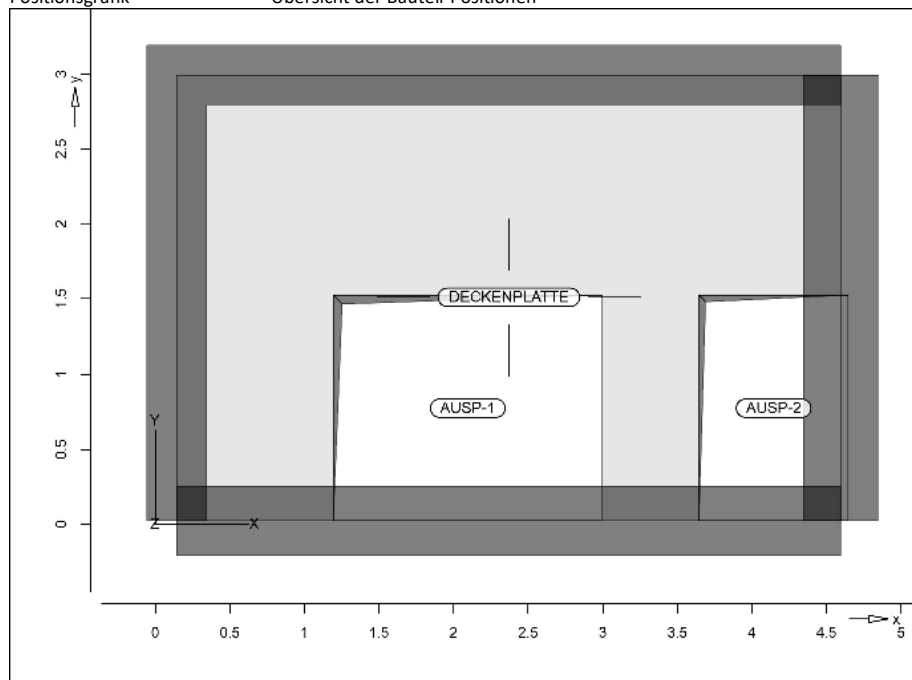
Positionsplan

Bauteile

Bauteil-Positionen

Positionsgrafik

Übersicht der Bauteil-Positionen



Platten

Platten-Positionen

Stahlbeton

Position	Winkel [°]	Art	Längs	Material Quer	Dicke [cm]
DECKENPLATTE	0.0	iso	B 500SB	C 40/50 Q B 500SB	40.0

Winkel: Bewehrungsrichtung r
iso: isotropes Material
Q: Gesteinskörnung Quarzit

Expositionsklasse

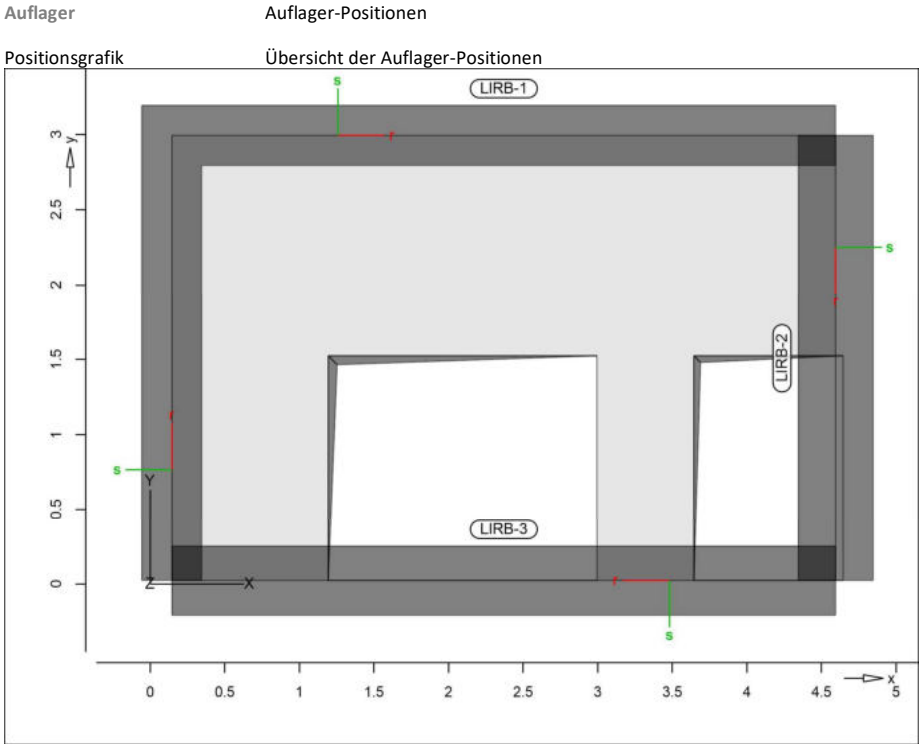
gemäß DIN EN 1992-1-1, Tab. 4.1

Position	Seite	KI	Kommentar
DECKENPLATTE	umlaufend	XC4	wechselnd nass und trocken
		XF3	Hohe Wassersättigung ohne Taumittel
		XA2	Chemisch mäßig angreifende Umgebung und Meeresbauwerke

Bauteil:	BW_10H120	Seite: 11
----------	-----------	-----------

Verfasser:	Dipl.- Ing. Michael Marbeck - 48301 Nottuln Ingenieurbüro für Tragwerksplanung	
Bauvorhaben:	Dresden	Datum: 03.08.2023

	Position	Seite	KI	Kommentar
			WF	Häufig oder längere Zeit feuchter Beton
Koordinaten	Position	x	y	
		[m]	[m]	
	DECKENPLATTE	0.15	0.02	
		4.60	0.02	
		4.60	2.99	
Aussparungen		0.15	2.99	
	Position	x	y	
		[m]	[m]	
	AUSP-1	3.00	1.52	
		1.20	1.52	
		1.20	0.02	
		3.00	0.02	
	AUSP-2	4.65	1.52	
		3.65	1.52	
		3.65	0.02	
		4.65	0.02	



Bauteil:	BW_10H120	Seite: 12
----------	-----------	-----------

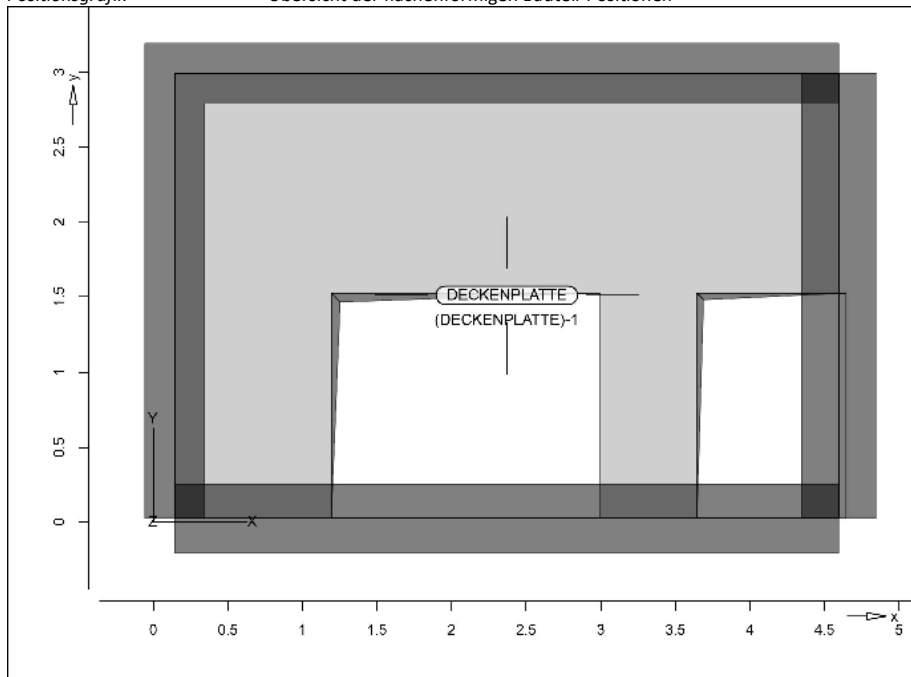
Verfasser:	Dipl.- Ing. Michael Marbeck - 48301 Nottuln Ingenieurbüro für Tragwerksplanung	
Bauvorhaben:	Dresden	Datum: 03.08.2023

Lastplan Lasten des FE-Modells

Bauteillasten Bauteilbezogene Lasten

Flächenpositionen Flächenförmige Bauteil-Positionen

Positionsgrafik Übersicht der flächenförmigen Bauteil-Positionen



Eigengewicht

Position	EW	Lastfall	Art	g [kN/m²]
DECKENPLATTE	Gk	LF-1	PGr	10.00
PGr: Gravitationslast; positive Lasten wirken senkrecht nach unten				

Sonstige ständige Last

Position	EW	Lastfall	Art	g [kN/m²]
DECKENPLATTE	Gk	LF-1	PGr	2.97
PGr: Gravitationslast; positive Lasten wirken senkrecht nach unten				

Nutzlast

Position	EW	Lastfall je Lastfeld	Art	p [kN/m²]
DECKENPLATTE	Qk.N	(DECKENPLATTE)-1	PGr	14.70
PGr: Gravitationslast; positive Lasten wirken senkrecht nach unten				

Bauteil:	BW_10H120	Seite: 14
----------	-----------	-----------

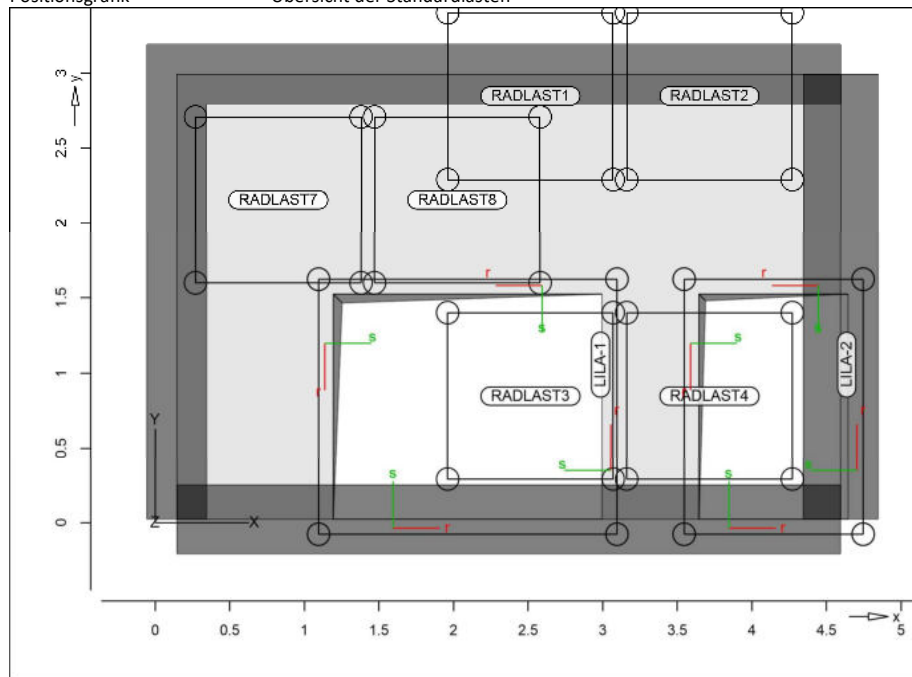
Verfasser:	Dipl.- Ing. Michael Marbeck - 48301 Nottuln	
	Ingenieurbüro für Tragwerksplanung	
Bauvorhaben:	Dresden	Datum: 03.08.2023

Standardlasten

Standardlasten im FE-Modell

Positionsgrafik

Übersicht der Standardlasten



Linienlasten

Position	EW	Lastfall	Art	$p_{A,MA}$ [kN/m], [kNm/m]	$p_{E,ME}$ [kN/m], [kNm/m]
LILA-1	Qk.N	LF-2	pGr	18.24	18.24
LILA-2	Qk.N	LF-2	pGr	19.29	19.29

pGr: Gravitationslast; positive Lasten wirken senkrecht nach unten

Gleichflächenlasten

Position	EW	Lastfall	Art	p [kN/m²]
RADLAST1	Qk.N	LF-2	PGr	109.57
RADLAST2	Qk.N	LF-2	PGr	109.57
RADLAST3	Qk.N	LF-2	PGr	109.57
RADLAST4	Qk.N	LF-2	PGr	109.57
RADLAST5	Qk.N	LF-3	PGr	109.57
RADLAST6	Qk.N	LF-3	PGr	109.57
RADLAST7	Qk.N	LF-3	PGr	109.57
RADLAST8	Qk.N	LF-3	PGr	109.57

PGr: Gravitationslast; positive Lasten wirken senkrecht nach unten

Einwirkungen

Bauteil:	BW_10H120	Seite: 15
----------	-----------	-----------

Verfasser:	Dipl.- Ing. Michael Marbeck - 48301 Nottuln Ingenieurbüro für Tragwerksplanung	
Bauvorhaben:	Dresden	Datum: 03.08.2023

DIN EN 1990

Einwirkungen nach DIN EN 1990

Kürzel	Beschreibung Typisierung
Gk	Eigenlasten Ständige Einwirkungen
Qk.N	Nutzlasten Kategorie A - Wohn- und Aufenthaltsräume

Lastfälle

Lastfälle und deren Zuordnung zu den Einwirkungen

Gk

LF-1

Qk.N

(DECKENPLATTE)-1

LG-1 (LF-2, LF-3)

Bemessung (GZT+GZG)

Biegung Pl-As-erf-Werte

Plattenbiegebemessung nach DIN EN 1992-1-1

DECKENPLATTE

Bemessung für Platte (Stahlbeton) DECKENPLATTE

Mat./Querschnitt

Beton **C 40/50**

Gesteinskörnung Quarzit

Betonstahl **B 500SB**

Dicke konstant h = 40.00 cm

Expositionsklasse

gemäß DIN EN 1992-1-1, Tab. 4.1

Position	Seite	KI	Kommentar
DECKENPLATTE	umlaufend	XC4	wechselnd nass und trocken
		XF3	Hohe Wassersättigung ohne Taumittel
		XA2	Chemisch mäßig angreifende Umgebung und Meeresbauwerke
		WF	Häufig oder längere Zeit feuchter Beton

Bewehrung

Vorgaben zur Bewehrungsdefinition

Betondeckung	$c_{min,u}/c_{min,o}$	=	35 /	35	mm
	$\Delta c_{def,u}/\Delta c_{def,o}$	=	15 /	15	mm
	$c_{nom,u}/c_{nom,o}$	=	50 /	50	mm
Bewehrungsabstand	$d'_{ru/su}$	=	74 /	58	mm
	$d'_{ro/so}$	=	74 /	58	mm
Bewehrungsrichtung	$w_{ru/su}$	=	0.0 /	90.0	°
	$w_{ro/so}$	=	0.0 /	90.0	°

Nachweisparameter

nach DIN EN 1992-1-1

Mindestbewehrung (9.2.1.1) wurde berücksichtigt.

Rissbreitennachweis (7.3):

- Rissbreiten $w_{k,u/o}$ = 0.20/0.20 mm

- Rissbew. (7.3.4) wurde ermittelt für Stab-Durchmesser:

Bauteil:	BW_10H120	Seite: 16
----------	-----------	-----------

Verfasser:	Dipl.- Ing. Michael Marbeck - 48301 Nottuln	
	Ingenieurbüro für Tragwerksplanung	
Bauvorhaben:	Dresden	Datum: 03.08.2023

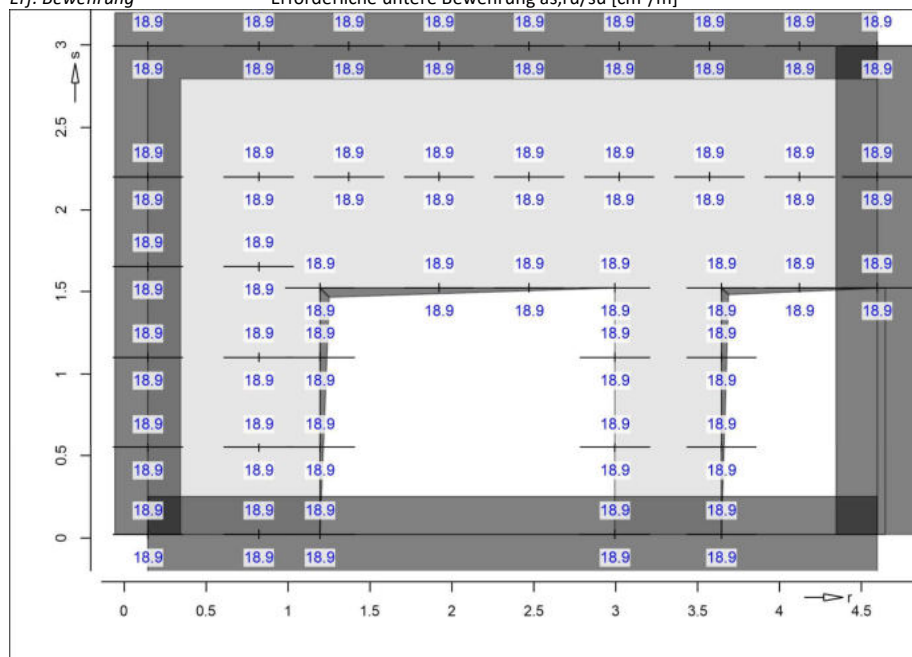
- $d_{s,ru/su/ro/so} = 16.0/16.0/16.0/16.0 \text{ mm}$
 - wirksame Betonzugfestigkeit bei Lastbeanspr.:
 $f_{ct,eff} = 2.45 \text{ N/mm}^2 (= 70.0 \% \text{ von } f_{ctm})$
 - wirksame Betonzugfestigkeit bei Zwangbeanspr.:
 $f_{ct,eff} = 2.45 \text{ N/mm}^2 (= 70.0 \% \text{ von } f_{ctm})$
 - Mindestbewehrung (7.3.2(2)):
 (innerer Zugzwang)
 $a_{smin,ru/su/ro/so} = 18.9/18.9/18.9/18.9 \text{ cm}^2/\text{m}$

as,unten

Erf. Bewehrung

Längsbewehrung in unterer Lage

Erforderliche untere Bewehrung $a_{s,ru/su} [\text{cm}^2/\text{m}]$

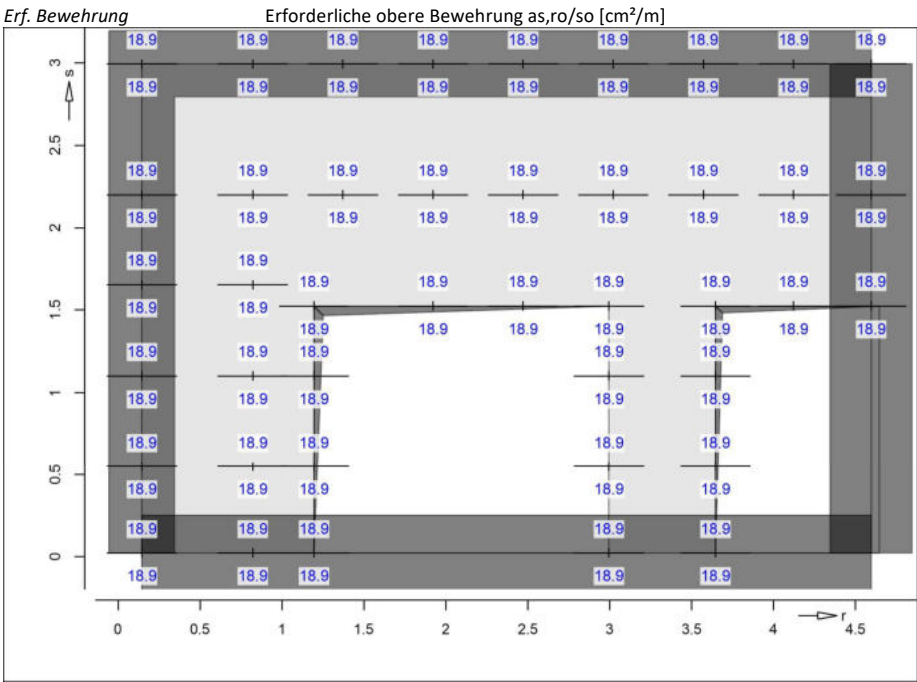


as,oben

Längsbewehrung in oberer Lage

Bauteil:	BW_10H120	Seite: 17
----------	-----------	-----------

Verfasser:	Dipl.- Ing. Michael Marbeck - 48301 Nottuln Ingenieurbüro für Tragwerksplanung	
Bauvorhaben:	Dresden	Datum: 03.08.2023



Bauteil:	BW_10H120	Seite: 18
----------	-----------	-----------

Verfasser:	Dipl.- Ing. Michael Marbeck - 48301 Nottuln	
	Ingenieurbüro für Tragwerksplanung	
Bauvorhaben:	Dresden	Datum: 03.08.2023

Querkraft PI-As-Iso

Querkraftbemessung Plattenbereiche

DECKENPLATTE

Querkraftbemessung der Platte (Isolinien)

Querkraftbemessung nach DIN EN 1992-1-1

Beton C 40/50, Betonstahl B 500SB

Gesteinskörnung Quarzit

Druckstrebenneigung wurde vom Programm optimiert.

Mindestbewehrung (9.3.2) wurde nicht ermittelt.

Dicke konstant $h = 40.00$ cm

Kombinationen

Maßgebende Kombinationen nach DIN EN 1990

Ew Einwirkungsname

Lkn Lastkombinationsnummer

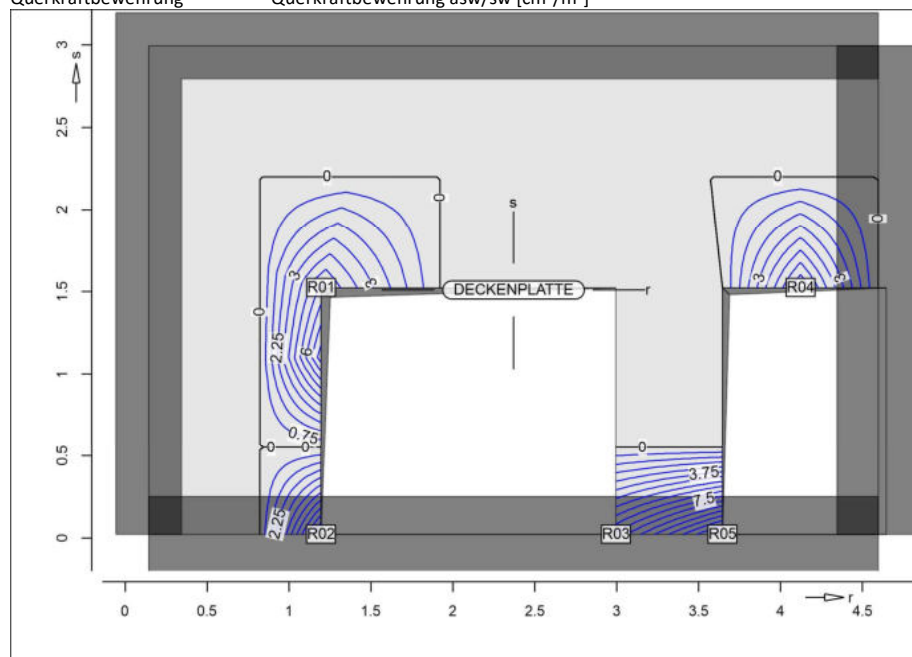
! vorherrschende veränderliche Einwirkung

Die Beteiligung einzelner Lastfälle innerhalb einer Einwirkung wird mit diesem Ausgabeformat nicht dokumentiert.

Ew	Gk	Qk.N
Lkn	Grundkombination	
1-2	1.35	1.50 !

Querkraftbewehrung

Querkraftbewehrung asw/sw [cm^2/m^2]



Bauteil:	BW_10H120	Seite: 19
----------	-----------	-----------

Verfasser:	Dipl.- Ing. Michael Marbeck - 48301 Nottuln Ingenieurbüro für Tragwerksplanung	
Bauvorhaben:	Dresden	Datum: 03.08.2023

Isolinienstufen = 0.75 cm²/m²

Punkt	x	y		vEd	vEd,res	vRd,c	vRd,max	asw/sw	Summe	Lkn
		[m]					[kN/m]		[cm²/m²]	
R01	1.20	1.52	r	98.3	208.8	171.8 m	1254.6	0.00	5.39	1
			s	184.3		177.5 m	1336.2	5.39		
R02	1.20	0.02	r	278.1	282.8	171.8 m	1254.6	8.67	8.67	2
			s	51.2		177.5 m	1336.2	0.00		
R03	3.00	0.02	r	-245.5	302.4	171.8 m	1254.6	7.65	7.65	2
			s	176.6		177.5 m	1336.2	0.00		
R04	4.12	1.52	r	-217.9	221.5	171.8 m	1254.6	6.79	6.79	2
			s	39.9		177.5 m	1336.2	0.00		
R05	3.65	0.02	r	-258.4	316.0	171.8 m	1254.6	8.05	13.38	2
			s	182.0		177.5 m	1336.2	5.32		

m: Mindestwert nach DIN EN 1992-1-1, Gl.(6.2.b) maßgebend

Bauteil:	BW_10H120	Seite: 20
----------	-----------	-----------

Verfasser:	Dipl.- Ing. Michael Marbeck - 48301 Nottuln Ingenieurbüro für Tragwerksplanung	
Bauvorhaben:	Dresden	Datum: 03.08.2023

Bemessung Deckenplatte mit dem Ermüdungslastmodell

System

Positionsplan

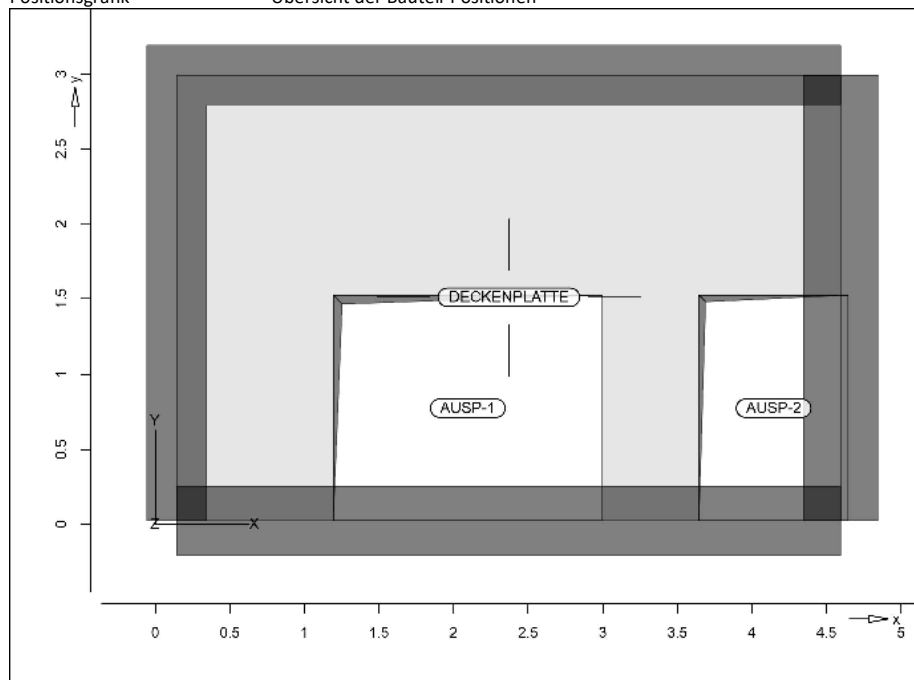
Positionsplan

Bauteile

Bauteil-Positionen

Positionsgrafik

Übersicht der Bauteil-Positionen



Platten

Platten-Positionen

Stahlbeton

Position	Winkel [°]	Art	Längs	Material Quer	Dicke [cm]
DECKENPLATTE	0.0	iso	B 500SB	C 40/50 Q B 500SB	40.0

Winkel: Bewehrungsrichtung r
iso: isotropes Material
Q: Gesteinskörnung Quarzit

Expositionsklasse

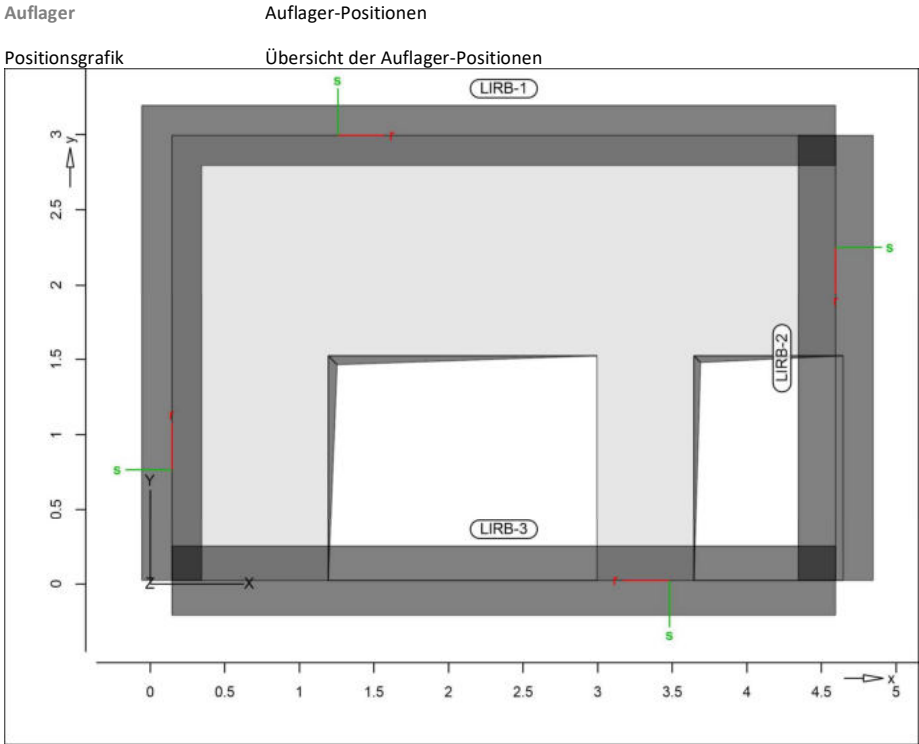
gemäß DIN EN 1992-1-1, Tab. 4.1

Position	Seite	KI	Kommentar
DECKENPLATTE	umlaufend	XC4	wechselnd nass und trocken
		XF3	Hohe Wassersättigung ohne Taumittel
		XA2	Chemisch mäßig angreifende Umgebung und Meeresbauwerke

Bauteil:	BW_10H120	Seite: 21
----------	-----------	-----------

Verfasser:	Dipl.- Ing. Michael Marbeck - 48301 Nottuln Ingenieurbüro für Tragwerksplanung	
Bauvorhaben:	Dresden	Datum: 03.08.2023

	Position	Seite	KI	Kommentar
			WF	Häufig oder längere Zeit feuchter Beton
Koordinaten	Position		x	y
			[m]	[m]
	DECKENPLATTE		0.15	0.02
			4.60	0.02
			4.60	2.99
Aussparungen			0.15	2.99
	Position		x	y
			[m]	[m]
	AUSP-1		3.00	1.52
			1.20	1.52
			1.20	0.02
			3.00	0.02
	AUSP-2		4.65	1.52
			3.65	1.52
			3.65	0.02
			4.65	0.02



Bauteil:	BW_10H120	Seite: 22
----------	-----------	-----------

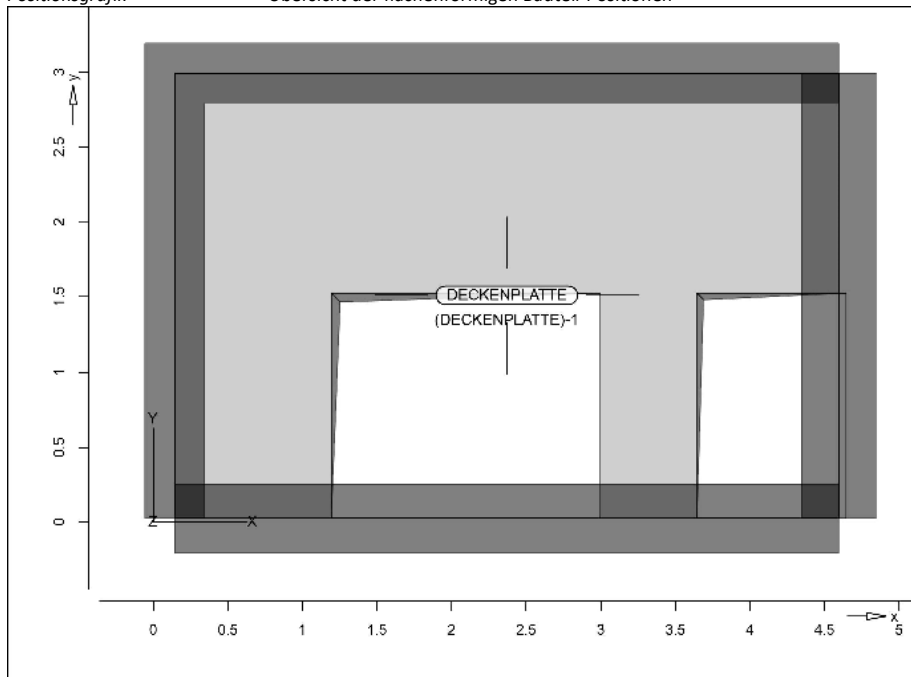
Verfasser:	Dipl.- Ing. Michael Marbeck - 48301 Nottuln Ingenieurbüro für Tragwerksplanung	
Bauvorhaben:	Dresden	Datum: 03.08.2023

Lastplan Lasten des FE-Modells

Bauteillasten Bauteilbezogene Lasten

Flächenpositionen Flächenförmige Bauteil-Positionen

Positionsgrafik Übersicht der flächenförmigen Bauteil-Positionen



Eigengewicht

Position	EW	Lastfall	Art	g [kN/m²]
DECKENPLATTE	Gk	LF-1	PGr	10.00
PGr: Gravitationslast; positive Lasten wirken senkrecht nach unten				

Sonstige ständige Last

Position	EW	Lastfall	Art	g [kN/m²]
DECKENPLATTE	Gk	LF-1	PGr	2.97
PGr: Gravitationslast; positive Lasten wirken senkrecht nach unten				

Nutzlast

Position	EW	Lastfall je Lastfeld	Art	p [kN/m²]
DECKENPLATTE	Qk.N	(DECKENPLATTE)-1	PGr	14.70
PGr: Gravitationslast; positive Lasten wirken senkrecht nach unten				

Bauteil:	BW_10H120	Seite: 24
----------	-----------	-----------

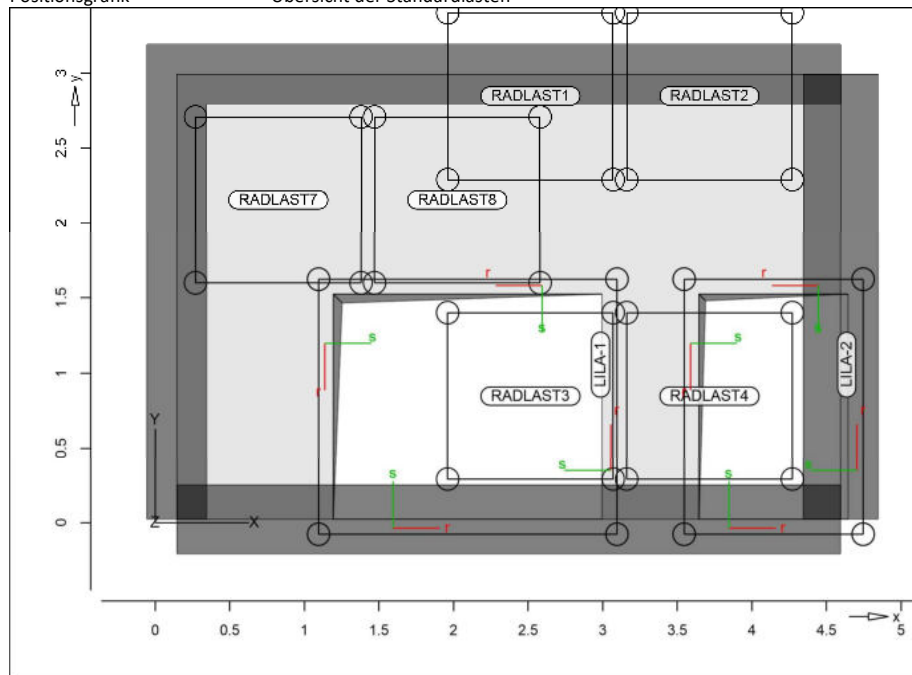
Verfasser:	Dipl.- Ing. Michael Marbeck - 48301 Nottuln	
	Ingenieurbüro für Tragwerksplanung	
Bauvorhaben:	Dresden	Datum: 03.08.2023

Standardlasten

Standardlasten im FE-Modell

Positionsgrafik

Übersicht der Standardlasten



Linienlasten

Position	EW	Lastfall	Art	$p_{A,MA}$ [kN/m], [kNm/m]	$p_{E,ME}$ [kN/m], [kNm/m]
LILA-1	Qk.N	LF-2	pGr	10.20	10.20
LILA-2	Qk.N	LF-2	pGr	10.80	10.80

pGr: Gravitationslast; positive Lasten wirken senkrecht nach unten

Gleichflächenlasten

Position	EW	Lastfall	Art	p [kN/m²]
RADLAST1	Qk.N	LF-2	PGr	61.40
RADLAST2	Qk.N	LF-2	PGr	61.40
RADLAST3	Qk.N	LF-2	PGr	61.40
RADLAST4	Qk.N	LF-2	PGr	61.40
RADLAST5	Qk.N	LF-3	PGr	61.40
RADLAST6	Qk.N	LF-3	PGr	61.40
RADLAST7	Qk.N	LF-3	PGr	61.40
RADLAST8	Qk.N	LF-3	PGr	61.40

PGr: Gravitationslast; positive Lasten wirken senkrecht nach unten

Einwirkungen

Bauteil:	BW_10H120	Seite: 25
----------	-----------	-----------

Verfasser:	Dipl.- Ing. Michael Marbeck - 48301 Nottuln Ingenieurbüro für Tragwerksplanung	
Bauvorhaben:	Dresden	Datum: 03.08.2023

DIN EN 1990

Einwirkungen nach DIN EN 1990

Kürzel	Beschreibung Typisierung
Gk	Eigenlasten Ständige Einwirkungen
Qk.N	Nutzlasten Kategorie A - Wohn- und Aufenthaltsräume

Lastfälle

Lastfälle und deren Zuordnung zu den Einwirkungen

Gk

LF-1

Qk.N

(DECKENPLATTE)-1

LG-1 (LF-2, LF-3)

Bemessung (GZT+GZG)

Biegung Pl-As-erf-Werte

Plattenbiegebemessung nach DIN EN 1992-1-1

DECKENPLATTE

Bemessung für Platte (Stahlbeton) DECKENPLATTE

Mat./Querschnitt

Beton **C 40/50**

Gesteinskörnung Quarzit

Betonstahl **B 500SB**

Dicke konstant h = 40.00 cm

Expositionsklasse

gemäß DIN EN 1992-1-1, Tab. 4.1

Position	Seite	KI	Kommentar
DECKENPLATTE	umlaufend	XC4	wechselnd nass und trocken
		XF3	Hohe Wassersättigung ohne Taumittel
		XA2	Chemisch mäßig angreifende Umgebung und Meeresbauwerke
		WF	Häufig oder längere Zeit feuchter Beton

Bewehrung

Vorgaben zur Bewehrungsdefinition

Betondeckung	$c_{min,u}/c_{min,o}$	=	35 /	35	mm
	$\Delta c_{def,u}/\Delta c_{def,o}$	=	15 /	15	mm
	$c_{nom,u}/c_{nom,o}$	=	50 /	50	mm
Bewehrungsabstand	$d'_{ru/su}$	=	74 /	58	mm
	$d'_{ro/so}$	=	74 /	58	mm
Bewehrungsrichtung	$w_{ru/su}$	=	0.0 /	90.0	°
	$w_{ro/so}$	=	0.0 /	90.0	°

Nachweisparameter

nach DIN EN 1992-1-1

Mindestbewehrung (9.2.1.1) wurde berücksichtigt.

Rissbreitennachweis (7.3):

- Rissbreiten $w_{k,u/o}$ = 0.20/0.20 mm

- Rissbew. (7.3.4) wurde ermittelt für Stab-Durchmesser:

Bauteil:	BW_10H120	Seite: 26
----------	-----------	-----------

Verfasser:	Dipl.- Ing. Michael Marbeck - 48301 Nottuln	
	Ingenieurbüro für Tragwerksplanung	
Bauvorhaben:	Dresden	Datum: 03.08.2023

$d_s, r_u/s_u/r_o/s_o = 16.0/16.0/16.0/16.0 \text{ mm}$
 - wirksame Betonzugfestigkeit bei Lastbeanspr.:
 $f_{ct,eff} = 2.45 \text{ N/mm}^2 (= 70.0 \% \text{ von } f_{ctm})$
 - wirksame Betonzugfestigkeit bei Zwangbeanspr.:
 $f_{ct,eff} = 2.45 \text{ N/mm}^2 (= 70.0 \% \text{ von } f_{ctm})$
 - Mindestbewehrung (7.3.2(2)):
 (innerer Zugzwang)
 $a_{smin}, r_u/s_u/r_o/s_o = 18.9/18.9/18.9/18.9 \text{ cm}^2/\text{m}$

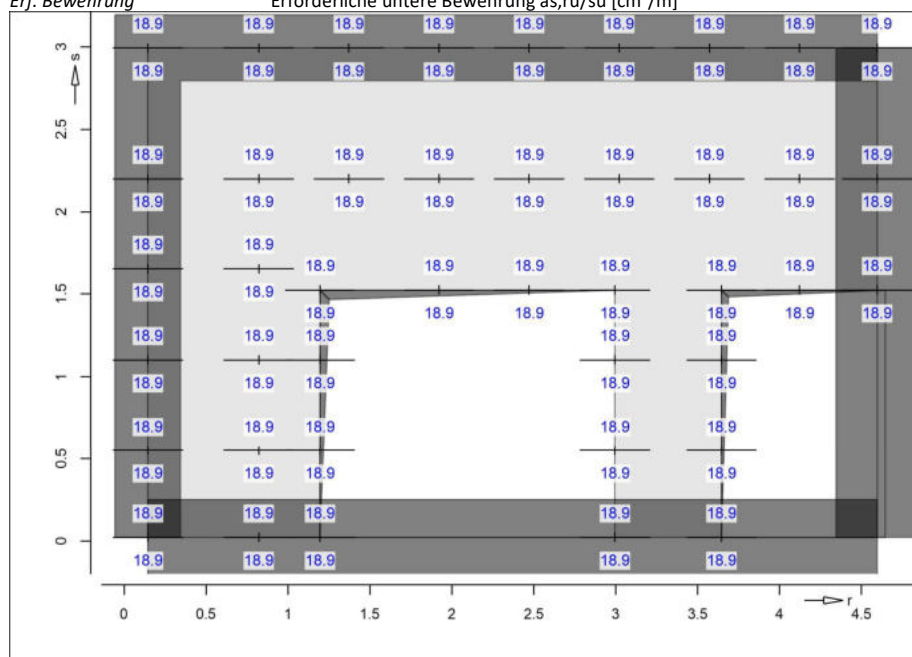
Ermüdungsnachweis (6.8):
 - wirksame Betondruckfestigkeit bei Belastungsbeginn
 $f_{cd,fat} = 25.00 \text{ N/mm}^2$
 - Zulässige Spannungsschwingbreite des Betonstahls
 $\sigma_{S,lim} = 181.40 \text{ N/mm}^2$

as,unten

Erf. Bewehrung

Längsbewehrung in unterer Lage

Erforderliche untere Bewehrung $a_{s,ru/su} [\text{cm}^2/\text{m}]$



Bauteil:	BW_10H120	Seite: 27
----------	-----------	-----------

Verfasser:	Dipl.- Ing. Michael Marbeck - 48301 Nottuln Ingenieurbüro für Tragwerksplanung	
Bauvorhaben:	Dresden	Datum: 03.08.2023

Querkraft PI-As-Iso

Querkraftbemessung Plattenbereiche

DECKENPLATTE

Querkraftbemessung der Platte (Isolinien)

Querkraftbemessung nach DIN EN 1992-1-1

Beton C 40/50, Betonstahl B 500SB

Gesteinskörnung Quarzit

Druckstrebenneigung wurde vom Programm optimiert.

Mindestbewehrung (9.3.2) wurde nicht ermittelt.

Ermüdungsnachweis (6.8):

- wirksame Betondruckfestigkeit bei Belastungsbeginn
 $f_{cd,fat} = 25.00 \text{ N/mm}^2$
- Zulässige Spannungsschwingbreite des Betonstahls
 $d\sigma_{s,lim} = 181.40 \text{ N/mm}^2$

Dicke konstant $h = 40.00 \text{ cm}$

Kombinationen

Maßgebende Kombinationen nach DIN EN 1990

Ew Einwirkungsname

Lkn Lastkombinationsnummer

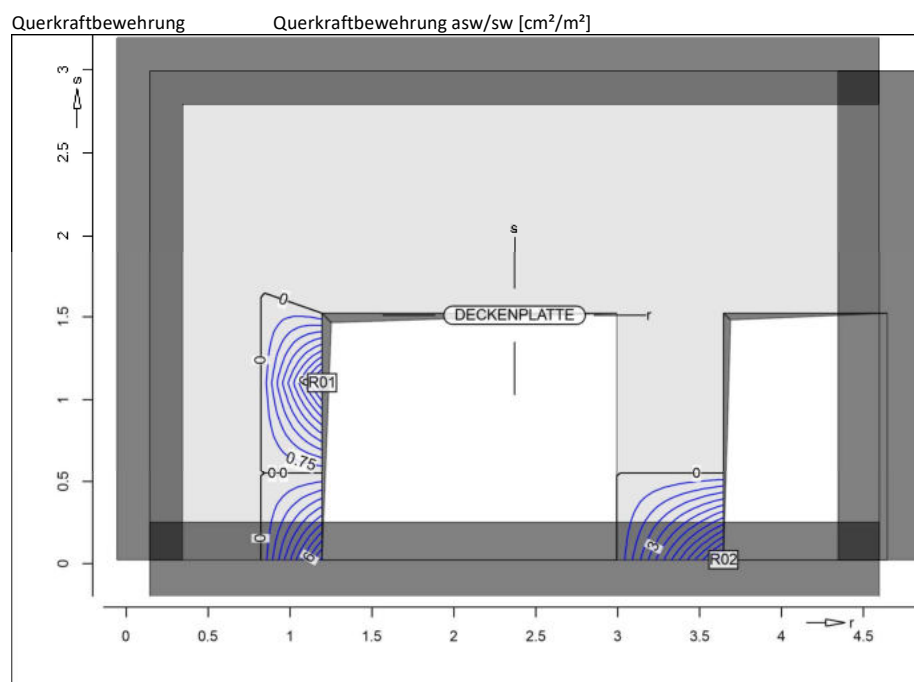
! vorherrschende veränderliche Einwirkung

Die Beteiligung einzelner Lastfälle innerhalb einer Einwirkung wird mit diesem Ausgabeformat nicht dokumentiert.

Ew	Gk	Qk.N
Lkn	Grundkombination	
1-2	1.35	1.50 !

Bauteil:	BW_10H120	Seite: 29
----------	-----------	-----------

Verfasser:	Dipl.- Ing. Michael Marbeck - 48301 Nottuln Ingenieurbüro für Tragwerksplanung	
Bauvorhaben:	Dresden	Datum: 03.08.2023



Isolinienstufen = 0.75 cm²/m²

Punkt	x	y		vEd	vEd,res	vRd,c	vRd,max	asw/sw	Summe	Lkn
		[m]					[kN/m]		[cm ² /m ²]	
R01	1.20	1.10	r	4.3	188.8	171.8 m	1254.6	0.00	5.52	1
			s	188.7		177.5 m	1336.2	5.52		
R02	3.65	0.02	r	-180.7	219.1	171.8 m	1254.6	5.63	5.63	2
			s	124.0		177.5 m	1336.2	0.00		

m: Mindestwert nach DIN EN 1992-1-1, Gl.(6.2.b) maßgebend

Bauteil:	BW_10H120	Seite: 30
----------	-----------	-----------

Verfasser:	Dipl.- Ing. Michael Marbeck - 48301 Nottuln Ingenieurbüro für Tragwerksplanung	
Bauvorhaben:	Dresden	Datum: 03.08.2023

Bemessung Wand 1

System

Positionsplan

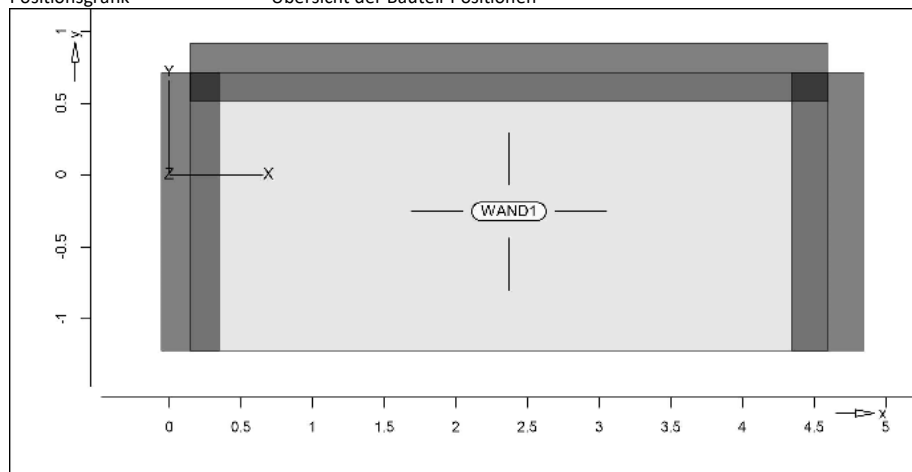
Positionsplan

Bauteile

Bauteil-Positionen

Positionsgrafik

Übersicht der Bauteil-Positionen



Platten

Platten-Positionen

Stahlbeton

Position	Winkel [°]	Art	Längs	Material Quer	Dicke [cm]
WAND1	0.0	iso	B 500SB	C 40/50 Q B 500SB	46.0

Winkel: Bewehrungsrichtung r
iso: isotropes Material
Q: Gesteinskörnung Quarzit

Expositionsklasse

gemäß DIN EN 1992-1-1, Tab. 4.1

Position	Seite	KI	Kommentar
WAND1	umlaufend b	XC4 XF3 XA2 WA	wechselnd nass und trocken Hohe Wassersättigung ohne Taumittel Chemisch mäßig angreifende Umgebung und Meeresbauwerke Häufig oder längere Zeit feuchter Beton mit Alkalizufuhr von außen

b: Verminderung des Vorhaltemaßes um 5 mm nach NDP Zu 4.4.1.3(3)

Koordinaten

Position	x [m]	y [m]
WAND1	0.15	-1.23
	4.60	-1.23

Bauteil:	BW_10H120	Seite: 31
----------	-----------	-----------

Verfasser:	Dipl.- Ing. Michael Marbeck - 48301 Nottuln Ingenieurbüro für Tragwerksplanung	
Bauvorhaben:	Dresden	Datum: 03.08.2023

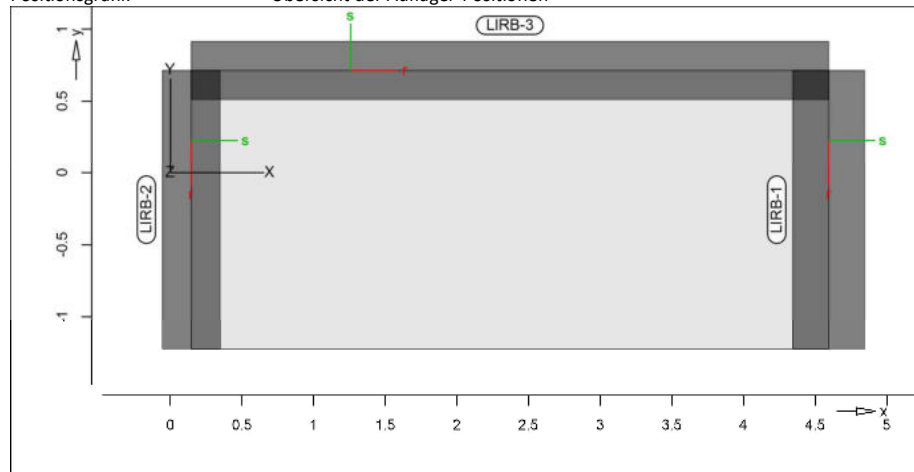
Position	x [m]	y [m]
	4.60	0.71
	0.15	0.71

Auflager

Auflager-Positionen

Positionsgrafik

Übersicht der Auflager-Positionen



Linienlager

Position	$K_{R,r}$ [kNm/rad/m]	$K_{R,s}$ [kNm/rad/m]	$K_{T,t}$ [kN/m/m]
LIRB-1..LIRB-3	+/- 200	+/- 200	+/- 20000

Koordinaten

Position	x [m]	y [m]
LIRB-1	4.60	0.71
	4.60	-1.23
LIRB-2	0.15	0.71
	0.15	-1.23
LIRB-3	0.15	0.71
	4.60	0.71

Material

Materialkennwerte

Stahlbeton
DIN EN 1992-1-1

Position	Material	Wichte [kN/m³]	E_{cm} G [N/mm²]	f_{ck} f_{ctm} [N/mm²]
WAND1	C 40/50 Q	25.00	35000 14600	40.00 3.50

Q: Gesteinskörnung Quarzit

Bauteil:	BW_10H120	Seite: 32
----------	-----------	-----------

Verfasser:	Dipl.- Ing. Michael Marbeck - 48301 Nottuln Ingenieurbüro für Tragwerksplanung	
Bauvorhaben:	Dresden	Datum: 03.08.2023

Betonstahl
DIN EN 1992-1-1

Position	Material	Wichte	E _s	f _{yk}
		[kN/m³]	[N/mm²]	[N/mm²]
WAND1	B 500SB	78.50	200000	500.00
			77000	525.00

Auswertung

Geometrische Auswertung der Positionen

Flächen

Flächenförmige Bauteil-Positionen

Stahlbeton

Position	Dicke	Fläche	Volumen
	[cm]	[m²]	[m³]
WAND1	46.0	8.63	3.97

Belastungen

Bauteil:	BW_10H120	Seite: 33
----------	-----------	-----------

Verfasser:	Dipl.- Ing. Michael Marbeck - 48301 Nottuln Ingenieurbüro für Tragwerksplanung	
Bauvorhaben:	Dresden	Datum: 03.08.2023

Lastplan

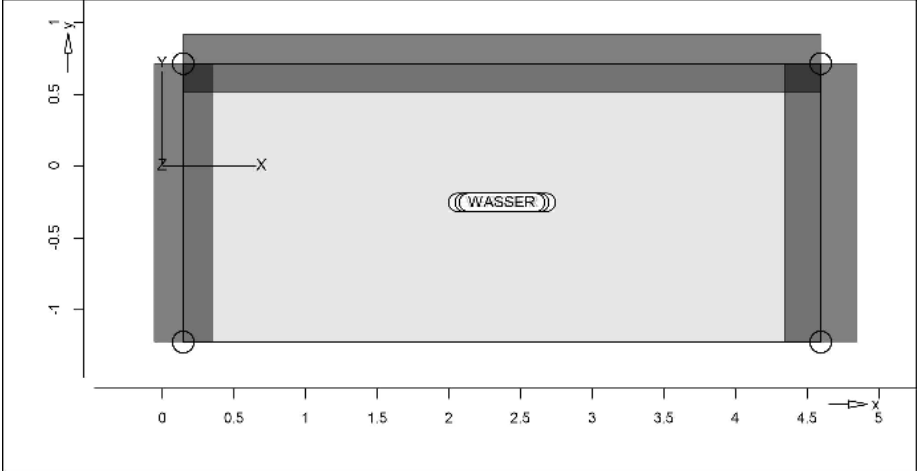
Lasten des FE-Modells

Standardlasten

Standardlasten im FE-Modell

Positionsgrafik

Übersicht der Standardlasten



Trapezflächenlasten

Position	EW	Lastfall	Art	p [kN/m²]
ERDDRUCK	Gk	LF-1	PGr	Trapez
VERKEHR	Qk.N	LF-2	PGr	Trapez
WASSER	Qk.N	LF-2	PGr	Trapez

PGr: Gravitationslast; positive Lasten wirken senkrecht nach unten

Trapezlasten

Lastordinatenebene durch drei Stützstellen definiert

Position	Punkt	r [m]	s [m]	p [kN/m²]
ERDDRUCK	P-1	0.15	-1.23	16.58
	P-2	4.60	-1.23	16.58
	P-3	4.60	0.71	4.26
VERKEHR	P-1	0.15	-1.23	13.70
	P-2	4.60	-1.23	13.70
	P-3	4.60	0.71	20.70
WASSER	P-1	0.15	-1.23	26.10
	P-2	4.60	-1.23	26.10
	P-3	4.60	0.71	6.70

Einwirkungen

DIN EN 1990

Einwirkungen nach DIN EN 1990

Kürzel	Beschreibung Typisierung
Gk	Eigenlasten Ständige Einwirkungen

Bauteil:	BW_10H120	Seite: 34
----------	-----------	-----------

Verfasser:	Dipl.- Ing. Michael Marbeck - 48301 Nottuln Ingenieurbüro für Tragwerksplanung	
Bauvorhaben:	Dresden	Datum: 03.08.2023

	Kürzel	Beschreibung Typisierung		
	Qk.N	Nutzlasten Kategorie A - Wohn- und Aufenthaltsräume		
Lastfälle	Lastfälle und deren Zuordnung zu den Einwirkungen			
Gk	LF-1			
Qk.N	LF-2			
Bemessung (GZT+GZG)				
Biegung Pl-As-erf-Werte	Plattenbiegebemessung nach DIN EN 1992-1-1			
WAND1	Bemessung für Platte (Stahlbeton) WAND1			
Mat./Querschnitt	Beton C 40/50 Gesteinskörnung Quarzit Betonstahl B 500SB Dicke konstant h = 46.00 cm			
Expositionsklasse	gemäß DIN EN 1992-1-1, Tab. 4.1			
	Position	Seite	KI	Kommentar
	WAND1	umlaufend b	XC4	wechselnd nass und trocken
XF3			Hohe Wassersättigung ohne Taumittel	
XA2			Chemisch mäßig angreifende Umgebung und Meeresbauwerke	
WA			Häufig oder längere Zeit feuchter Beton mit Alkalizufuhr von außen	
	b: Verminderung des Vorhaltemaßes um 5 mm nach NDP Zu 4.4.1.3(3)			
Bewehrung	Vorgaben zur Bewehrungsdefinition			
	Betondeckung	$c_{min,u}/c_{min,o}$	=	35 / 35 mm
		$\Delta c_{def,u}/\Delta c_{def,o}$	=	15 / 15 mm
		$c_{nom,u}/c_{nom,o}$	=	50 / 50 mm
	Bewehrungsabstand	$d'_{ru/su}$	=	58 / 74 mm
		$d'_{ro/so}$	=	58 / 74 mm
	Bewehrungsrichtung	$w_{ru/su}$	=	0.0 / 90.0 °
		$w_{ro/so}$	=	0.0 / 90.0 °
Nachweisparameter	nach DIN EN 1992-1-1			
	Mindestbewehrung (9.2.1.1) wurde berücksichtigt.			
	Rissbreitennachweis (7.3):			
	- Rissbreiten $w_{k,u/o}$ = 0.20/0.20 mm			
	- Rissbew. (7.3.4) wurde ermittelt für Stab-Durchmesser:			
	$d_{s,ru/su/ro/so}$ = 16.0/16.0/16.0/16.0 mm			
	- wirksame Betonzugfestigkeit bei Lastbeanspr.:			
	$f_{ct,eff}$ = 2.27 N/mm ² (= 65.0 % von f_{ctm})			

Bauteil:	BW_10H120	Seite: 35
----------	-----------	-----------

Verfasser:	Dipl.- Ing. Michael Marbeck - 48301 Nottuln Ingenieurbüro für Tragwerksplanung	
Bauvorhaben:	Dresden	Datum: 03.08.2023

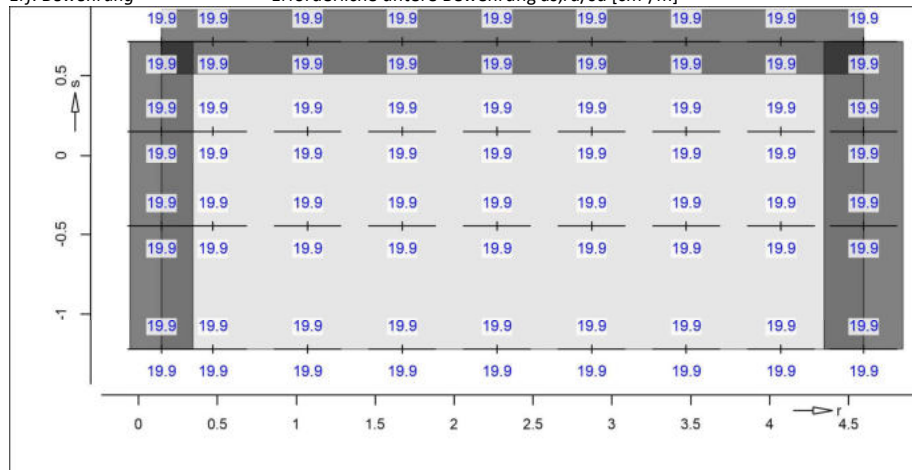
- wirksame Betonzugfestigkeit bei Zwangsbeanspr.:
 $f_{ct,eff} = 2.27 \text{ N/mm}^2$ (= 65.0 % von f_{ctm})
- Mindestbewehrung (7.3.2(2)):
(innerer Zugzwang)
 $a_{smin,ru/su/ro/so} = 19.9/19.9/19.9/19.9 \text{ cm}^2/\text{m}$

as,unten

Erf. Bewehrung

Längsbewehrung in unterer Lage

Erforderliche untere Bewehrung $a_{s,ru/su}$ [cm^2/m]

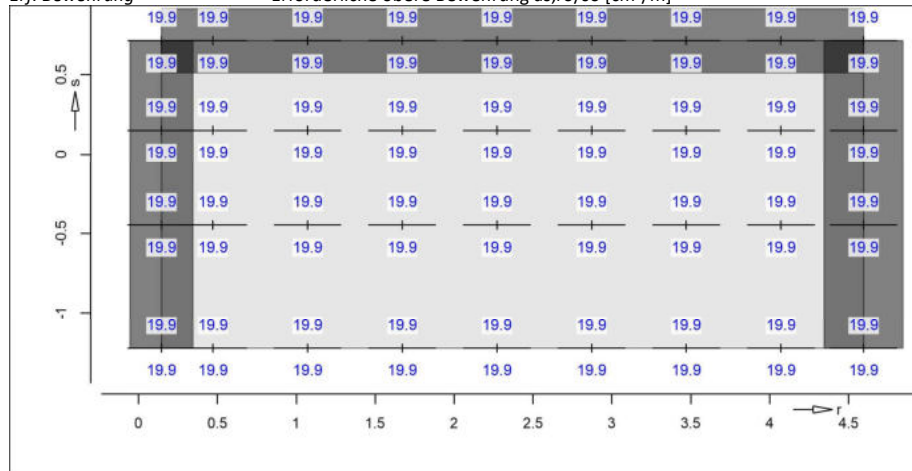


as,oben

Erf. Bewehrung

Längsbewehrung in oberer Lage

Erforderliche obere Bewehrung $a_{s,ro/so}$ [cm^2/m]



Bauteil:	BW_10H120	Seite: 36
----------	-----------	-----------

Verfasser:	Dipl.- Ing. Michael Marbeck - 48301 Nottuln Ingenieurbüro für Tragwerksplanung	
Bauvorhaben:	Dresden	Datum: 03.08.2023

Querkraft Pl-As-Iso

WAND1

Querkraftbemessung Plattenbereiche

Querkraftbemessung der Platte (Isolinien)

Querkraftbemessung nach DIN EN 1992-1-1

Beton C 40/50, Betonstahl B 500SB

Gesteinskörnung Quarzit

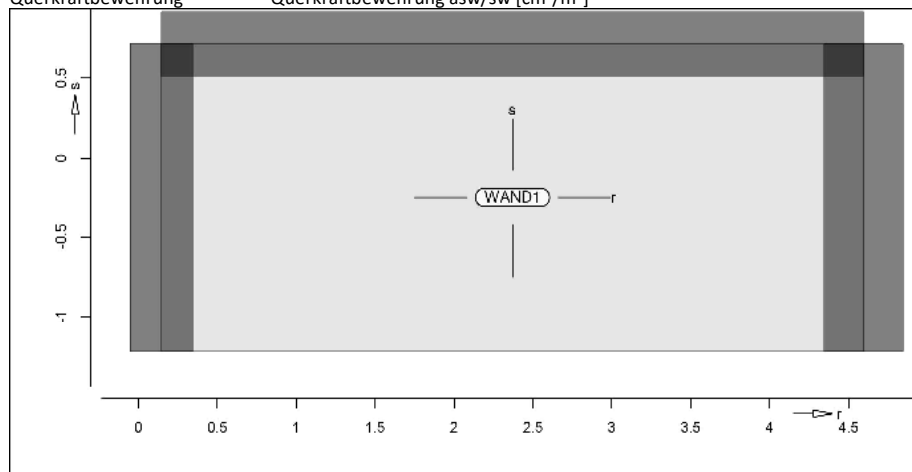
Druckstrebenneigung wurde vom Programm optimiert.

Mindestbewehrung (9.3.2) wurde nicht ermittelt.

Dicke konstant $h = 46.00$ cm

Querkraftbewehrung

Querkraftbewehrung asw/sw [cm^2/m^2]



Isolinienstufen = $1.00 \text{ cm}^2/\text{m}^2$

Bauteil:	BW_10H120	Seite: 37
----------	-----------	-----------

Verfasser:	Dipl.- Ing. Michael Marbeck - 48301 Nottuln	
	Ingenieurbüro für Tragwerksplanung	
Bauvorhaben:	Dresden	Datum: 03.08.2023

Bemessung Wand 2

System

Positionsplan

Bauteile

Positionsgrafik

Positionsplan

Bauteil-Positionen

Übersicht der Bauteil-Positionen

Platten

Stahlbeton

Platten-Positionen

Position	Winkel [°]	Art	Längs	Material Quer	Dicke [cm]
WAND1	0.0	iso	B 500SB	C 40/50 Q B 500SB	50.0

Winkel:

iso:

Q:

Bewehrungsrichtung r

isotropes Material

Gesteinskörnung Quarzit

Expositionsklasse

gemäß DIN EN 1992-1-1, Tab. 4.1

Position	Seite	KI	Kommentar
WAND1	umlaufend	XC4 XF3 XA2 WA	wechselnd nass und trocken Hohe Wassersättigung ohne Taumittel Chemisch mäßig angreifende Umgebung und Meeresbauwerke Häufig oder längere Zeit feuchter Beton mit

Bauteil:	BW_10H120	Seite: 38
----------	-----------	-----------

Verfasser:	Dipl.- Ing. Michael Marbeck - 48301 Nottuln	
	Ingenieurbüro für Tragwerksplanung	
Bauvorhaben:	Dresden	Datum: 03.08.2023

Position	Seite	KI	Kommentar
			Alkalizufuhr von außen
b:			Verminderung des Vorhaltemaßes um 5 mm nach NDP Zu 4.4.1.3(3)

Koordinaten

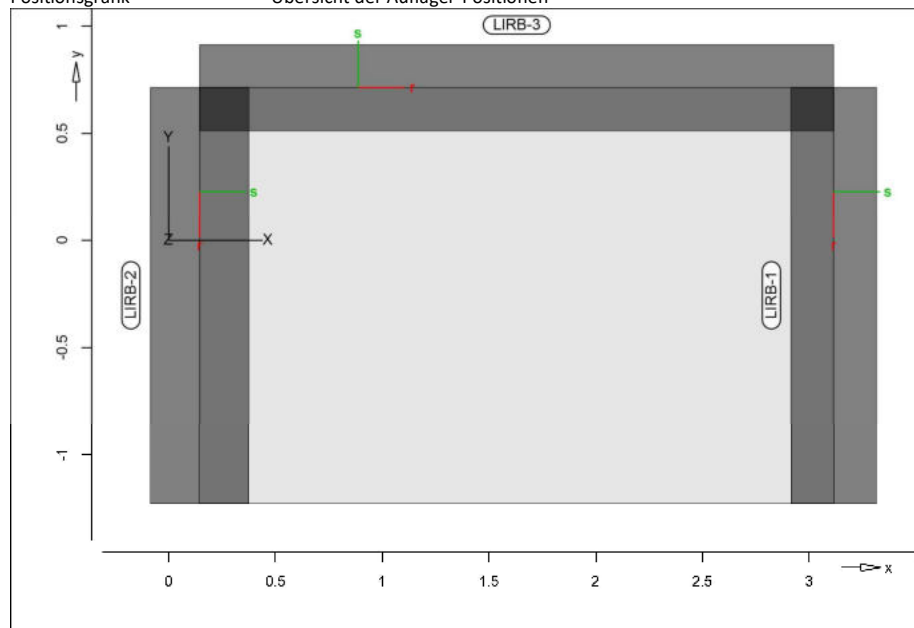
Position	x [m]	y [m]
WAND1	0.15	-1.23
	3.12	-1.23
	3.12	0.71
	0.15	0.71

Auflager

Auflager-Positionen

Positionsgrafik

Übersicht der Auflager-Positionen



Linienlager

Position	$K_{R,r}$ [kNm/rad/m]	$K_{R,s}$ [kNm/rad/m]	$K_{r,t}$ [kN/m/m]
LIRB-1..LIRB-3	+/- 200	+/- 200	+/- 20000

Koordinaten

Position	x [m]	y [m]
LIRB-1	3.12	0.71
	3.12	-1.23
LIRB-2	0.15	0.71
	0.15	-1.23
LIRB-3	0.15	0.71
	3.12	0.71

Bauteil:	BW_10H120	Seite: 39
----------	-----------	-----------

Verfasser:	Dipl.- Ing. Michael Marbeck - 48301 Nottuln Ingenieurbüro für Tragwerksplanung	
Bauvorhaben:	Dresden	Datum: 03.08.2023

Material	Materialkennwerte				
Stahlbeton DIN EN 1992-1-1	Position	Material	Wichte	E_{cm}	f_{ck}
				G	f_{ctm}
			[kN/m³]	[N/mm²]	[N/mm²]
	WAND1	C 40/50 Q	25.00	35000	40.00
				14600	3.50
	Q: Gesteinskörnung Quarzit				
Betonstahl DIN EN 1992-1-1	Position	Material	Wichte	E_s	f_{yk}
				G	f_{tk,cal}
			[kN/m³]	[N/mm²]	[N/mm²]
	WAND1	B 500SB	78.50	200000	500.00
				77000	525.00
Auswertung	Geometrische Auswertung der Positionen				
Flächen	Flächenförmige Bauteil-Positionen				
Stahlbeton	Position	Dicke	Fläche	Volumen	
		[cm]	[m²]	[m³]	
	WAND1	50.0	5.76	2.88	
Belastungen					

Bauteil:	BW_10H120	Seite: 40
----------	-----------	-----------

Verfasser:	Dipl.- Ing. Michael Marbeck - 48301 Nottuln Ingenieurbüro für Tragwerksplanung	
Bauvorhaben:	Dresden	Datum: 03.08.2023

Lastplan

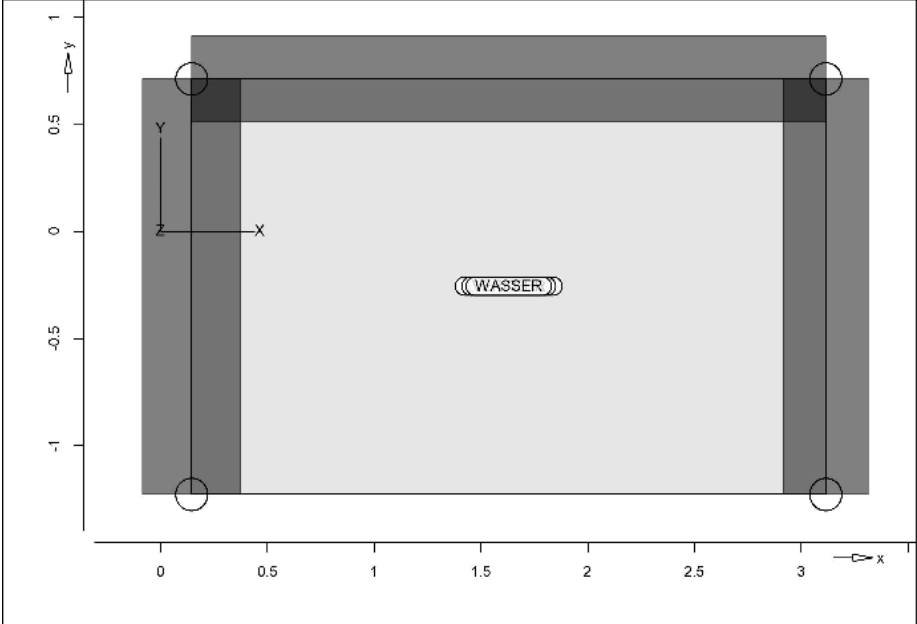
Lasten des FE-Modells

Standardlasten

Standardlasten im FE-Modell

Positionsgrafik

Übersicht der Standardlasten



Trapezflächenlasten

Position	EW	Lastfall	Art	p [kN/m²]
ERDDRUCK	Gk	LF-1	PGr	Trapez
VERKEHR	Qk.N	LF-2	PGr	Trapez
WASSER	Qk.N	LF-2	PGr	Trapez

PGr: Gravitationslast; positive Lasten wirken senkrecht nach unten

Trapezlasten

Lastordinatenebene durch drei Stützstellen definiert				
Position	Punkt	r [m]	s [m]	p [kN/m²]
ERDDRUCK	P-1	0.15	-1.23	16.58
	P-2	3.12	-1.23	16.58
	P-3	3.12	0.71	4.26
VERKEHR	P-1	0.15	-1.23	13.70
	P-2	3.12	-1.23	13.70
	P-3	3.12	0.71	20.70
WASSER	P-1	0.15	-1.23	26.10
	P-2	3.12	-1.23	26.10
	P-3	3.12	0.71	6.70

Einwirkungen

Bauteil:	BW_10H120	Seite: 41
----------	-----------	-----------

Verfasser:	Dipl.- Ing. Michael Marbeck - 48301 Nottuln Ingenieurbüro für Tragwerksplanung	
Bauvorhaben:	Dresden	Datum: 03.08.2023

DIN EN 1990	Einwirkungen nach DIN EN 1990																																											
	<table><tr><th>Kürzel</th><th>Beschreibung Typisierung</th></tr><tr><td>Gk</td><td>Eigenlasten Ständige Einwirkungen</td></tr><tr><td>Qk.N</td><td>Nutzlasten Kategorie A - Wohn- und Aufenthaltsräume</td></tr></table>	Kürzel	Beschreibung Typisierung	Gk	Eigenlasten Ständige Einwirkungen	Qk.N	Nutzlasten Kategorie A - Wohn- und Aufenthaltsräume																																					
Kürzel	Beschreibung Typisierung																																											
Gk	Eigenlasten Ständige Einwirkungen																																											
Qk.N	Nutzlasten Kategorie A - Wohn- und Aufenthaltsräume																																											
Lastfälle	Lastfälle und deren Zuordnung zu den Einwirkungen																																											
Gk	LF-1																																											
Qk.N	LF-2																																											
Bemessung (GZT+GZG)																																												
Biegung Pl-As-erf-Werte	Plattenbiegebemessung nach DIN EN 1992-1-1																																											
WAND1	Bemessung für Platte (Stahlbeton) WAND1																																											
Mat./Querschnitt	Beton C 40/50 Gesteinskörnung Quarzit Betonstahl B 500SB Dicke konstant h = 50.00 cm																																											
Expositionsklasse	gemäß DIN EN 1992-1-1, Tab. 4.1																																											
	<table><tr><th>Position</th><th>Seite</th><th>Kl</th><th>Kommentar</th></tr><tr><td rowspan="5">WAND1</td><td rowspan="5">umlaufend b</td><td>XC4</td><td>wechselnd nass und trocken</td></tr><tr><td>XF3</td><td>Hohe Wassersättigung ohne Taumittel</td></tr><tr><td>XA2</td><td>Chemisch mäßig angreifende Umgebung und Meeresbauwerke</td></tr><tr><td>WA</td><td>Häufig oder längere Zeit feuchter Beton mit Alkalizufuhr von außen</td></tr><tr><td></td><td></td><td></td></tr></table>	Position	Seite	Kl	Kommentar	WAND1	umlaufend b	XC4	wechselnd nass und trocken	XF3	Hohe Wassersättigung ohne Taumittel	XA2	Chemisch mäßig angreifende Umgebung und Meeresbauwerke	WA	Häufig oder längere Zeit feuchter Beton mit Alkalizufuhr von außen				b: Verminderung des Vorhaltemaßes um 5 mm nach NDP Zu 4.4.1.3(3)																									
Position	Seite	Kl	Kommentar																																									
WAND1	umlaufend b	XC4	wechselnd nass und trocken																																									
		XF3	Hohe Wassersättigung ohne Taumittel																																									
		XA2	Chemisch mäßig angreifende Umgebung und Meeresbauwerke																																									
		WA	Häufig oder längere Zeit feuchter Beton mit Alkalizufuhr von außen																																									
Bewehrung	Vorgaben zur Bewehrungsdefinition																																											
	<table><tr><td>Betondeckung</td><td>$c_{min,u}/c_{min,o}$</td><td>=</td><td>35 /</td><td>35</td><td>mm</td></tr><tr><td></td><td>$\Delta c_{def,u}/\Delta c_{def,o}$</td><td>=</td><td>15 /</td><td>15</td><td>mm</td></tr><tr><td></td><td>$c_{nom,u}/c_{nom,o}$</td><td>=</td><td>50 /</td><td>50</td><td>mm</td></tr><tr><td rowspan="2">Bewehrungsabstand</td><td>$d'_{ru/su}$</td><td>=</td><td>58 /</td><td>74</td><td>mm</td></tr><tr><td>$d'_{ro/so}$</td><td>=</td><td>58 /</td><td>74</td><td>mm</td></tr><tr><td rowspan="2">Bewehrungsrichtung</td><td>$w_{ru/su}$</td><td>=</td><td>0.0 /</td><td>90.0</td><td>°</td></tr><tr><td>$w_{ro/so}$</td><td>=</td><td>0.0 /</td><td>90.0</td><td>°</td></tr></table>	Betondeckung	$c_{min,u}/c_{min,o}$	=	35 /	35	mm		$\Delta c_{def,u}/\Delta c_{def,o}$	=	15 /	15	mm		$c_{nom,u}/c_{nom,o}$	=	50 /	50	mm	Bewehrungsabstand	$d'_{ru/su}$	=	58 /	74	mm	$d'_{ro/so}$	=	58 /	74	mm	Bewehrungsrichtung	$w_{ru/su}$	=	0.0 /	90.0	°	$w_{ro/so}$	=	0.0 /	90.0	°			
Betondeckung	$c_{min,u}/c_{min,o}$	=	35 /	35	mm																																							
	$\Delta c_{def,u}/\Delta c_{def,o}$	=	15 /	15	mm																																							
	$c_{nom,u}/c_{nom,o}$	=	50 /	50	mm																																							
Bewehrungsabstand	$d'_{ru/su}$	=	58 /	74	mm																																							
	$d'_{ro/so}$	=	58 /	74	mm																																							
Bewehrungsrichtung	$w_{ru/su}$	=	0.0 /	90.0	°																																							
	$w_{ro/so}$	=	0.0 /	90.0	°																																							
Nachweisparameter	nach DIN EN 1992-1-1																																											
	Mindestbewehrung (9.2.1.1) wurde berücksichtigt.																																											
	Rissbreitennachweis (7.3):																																											
	- Rissbreiten $w_{k,u/o}$ = 0.20/0.20 mm																																											

Bauteil:	BW_10H120	Seite: 42
----------	-----------	-----------

Verfasser:	Dipl.- Ing. Michael Marbeck - 48301 Nottuln	
	Ingenieurbüro für Tragwerksplanung	
Bauvorhaben:	Dresden	Datum: 03.08.2023

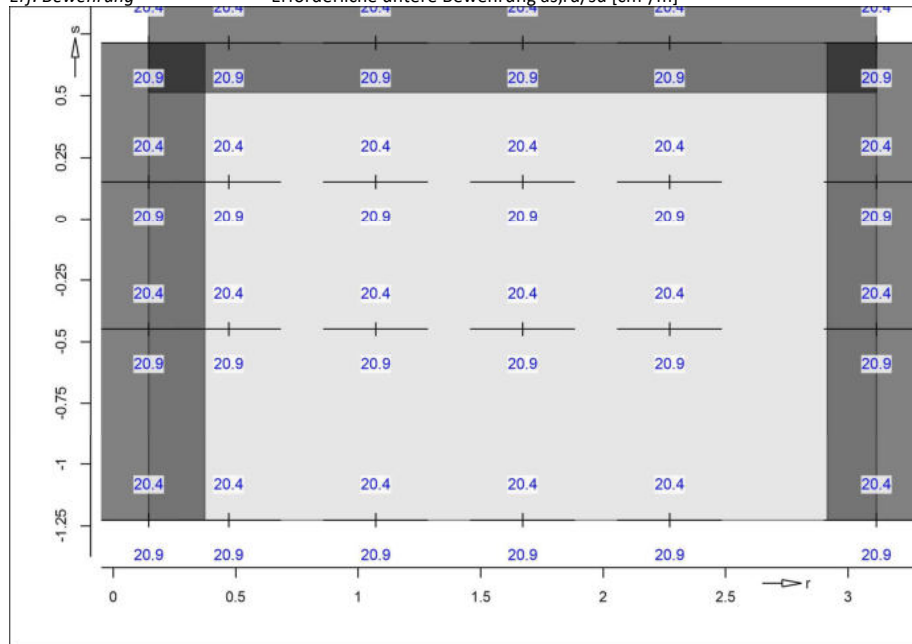
- Rissbew. (7.3.4) wurde ermittelt für Stab-Durchmesser:
 $d_s, r_u/s_u/r_o/s_o = 16.0/16.0/16.0/16.0 \text{ mm}$
- wirksame Betonzugfestigkeit bei Lastbeanspr.:
 $f_{ct,eff} = 2.27 \text{ N/mm}^2 (= 65.0 \% \text{ von } f_{ctm})$
- wirksame Betonzugfestigkeit bei Zwangbeanspr.:
 $f_{ct,eff} = 2.27 \text{ N/mm}^2 (= 65.0 \% \text{ von } f_{ctm})$
- Mindestbewehrung (7.3.2(2)):
 (innerer Zugzwang)
 $a_{smin}, r_u/s_u/r_o/s_o = 20.4/20.9/20.4/20.9 \text{ cm}^2/\text{m}$

as,unten

Erf. Bewehrung

Längsbewehrung in unterer Lage

Erforderliche untere Bewehrung $a_s, r_u/s_u$ [cm²/m]

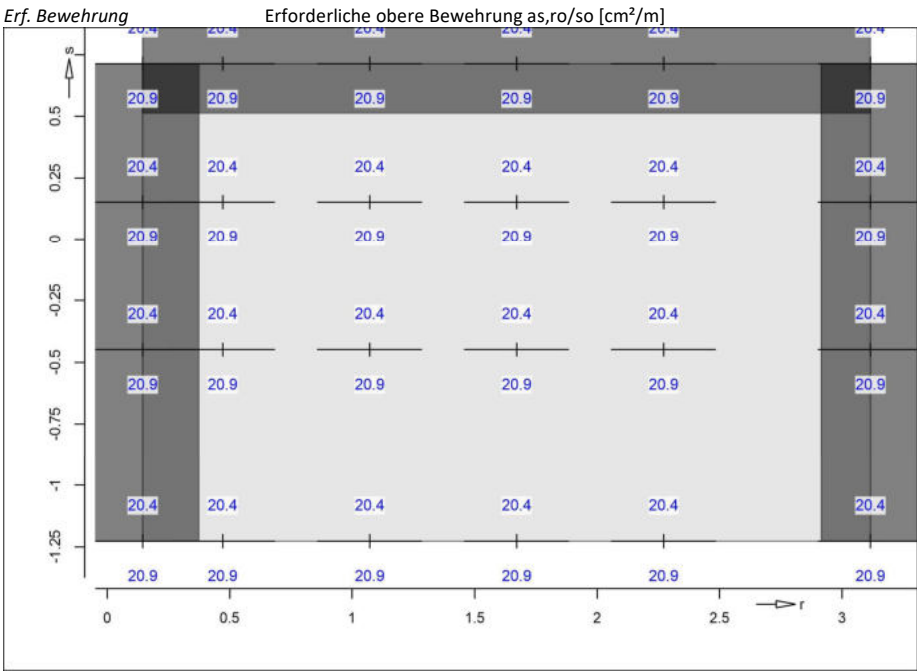


as,oben

Längsbewehrung in oberer Lage

Bauteil:	BW_10H120	Seite: 43
----------	-----------	-----------

Verfasser:	Dipl.- Ing. Michael Marbeck - 48301 Nottuln Ingenieurbüro für Tragwerksplanung	
Bauvorhaben:	Dresden	Datum: 03.08.2023



Bauteil:	BW_10H120	Seite: 44
----------	-----------	-----------

Verfasser:	Dipl.- Ing. Michael Marbeck - 48301 Nottuln Ingenieurbüro für Tragwerksplanung	
Bauvorhaben:	Dresden	Datum: 03.08.2023

Querkraft PI-As-Iso

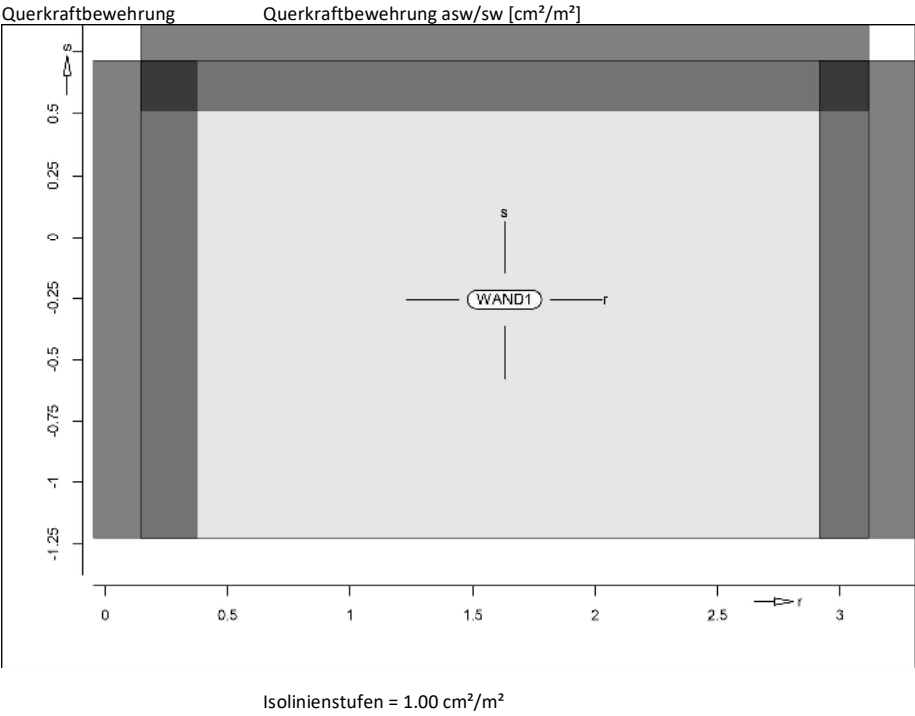
WAND1

Querkraftbemessung Plattenbereiche

 Querkraftbemessung der Platte (Isolinien)

 Querkraftbemessung nach DIN EN 1992-1-1
 Beton C 40/50, Betonstahl B 500SB
 Gesteinskörnung Quarzit
 Druckstrebenneigung wurde vom Programm optimiert.
 Mindestbewehrung (9.3.2) wurde nicht ermittelt.

 Dicke konstant h = 50.00 cm



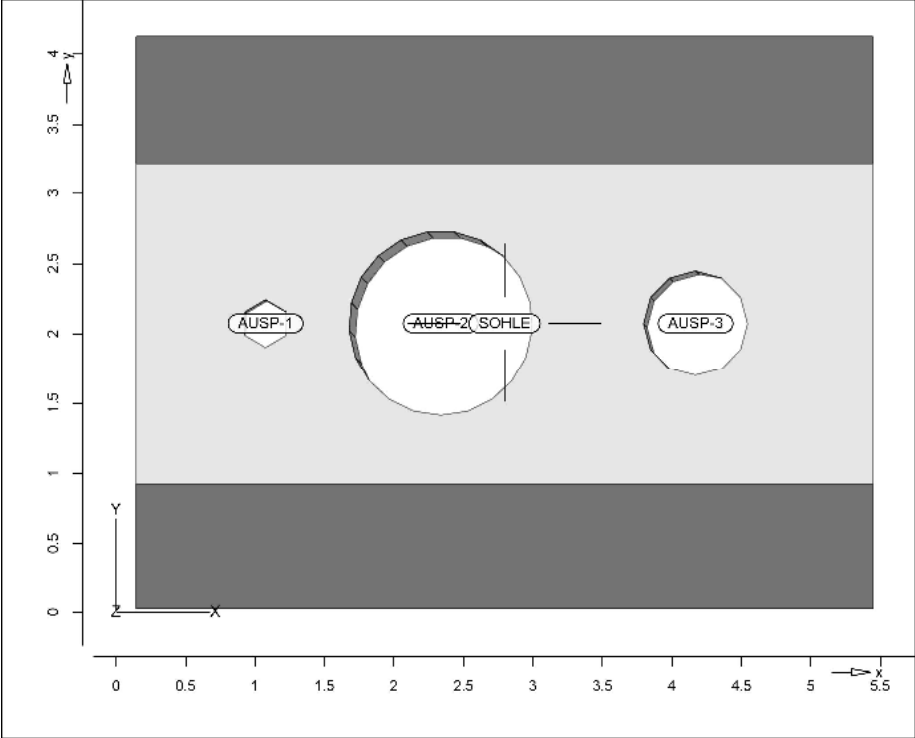
Bauteil:	BW_10H120	Seite: 45
----------	-----------	-----------

Verfasser:	Dipl.- Ing. Michael Marbeck - 48301 Nottuln	
	Ingenieurbüro für Tragwerksplanung	
Bauvorhaben:	Dresden	Datum: 03.08.2023

Bemessung Bodenplatte

System

Positionsplan	Positionsplan
Bauteile	Bauteil-Positionen
Positionsgrafik	Übersicht der Bauteil-Positionen



Platten

Stahlbeton

Platten-Positionen

Position	Winkel [°]	Art	Längs	Material Quer	Dicke [cm]
SOHLE	0.0	iso	B 500SB	C 40/50 Q B 500SB	30.0

Winkel: Bewehrungsrichtung r
 iso: isotropes Material
 Q: Gesteinskörnung Quarzit

Expositionsklasse

gemäß DIN EN 1992-1-1, Tab. 4.1					
Position	Seite	Kl	Kommentar		
SOHLE	umlaufend	b	XC4	wechselnd nass und trocken	
			XF3	Hohe Wassersättigung ohne Taumittel	

Bauteil:	BW_10H120	Seite: 46
----------	-----------	-----------

Verfasser:	Dipl.- Ing. Michael Marbeck - 48301 Nottuln Ingenieurbüro für Tragwerksplanung	
Bauvorhaben:	Dresden	Datum: 03.08.2023

Position	Seite	KI	Kommentar
		XA2	Chemisch mäßig angreifende Umgebung und Meeresbauwerke
		WA	Häufig oder längere Zeit feuchter Beton mit Alkalizufuhr von außen

b: Verminderung des Vorhaltemaßes um 5 mm nach NDP Zu 4.4.1.3(3)

Koordinaten

Position	x [m]	y [m]
SOHLE	0.15	0.02
	5.45	0.02
	5.45	4.12
	0.15	4.12

Aussparungen

Position	x [m]	y [m]
AUSP-1	1.07	1.90
	1.22	1.99
	1.22	2.16
	1.07	2.24
	0.93	2.16
	0.93	1.99
AUSP-2	2.33	1.41
	2.53	1.44
	2.71	1.53
	2.85	1.66
	2.95	1.83
	2.99	2.02
	2.98	2.22
	2.91	2.40
	2.78	2.56
	2.62	2.67
	2.43	2.73
	2.24	2.73
	2.05	2.67
	1.89	2.56
	1.76	2.40
	1.69	2.22
	1.68	2.02
	1.72	1.83
	1.82	1.66
	1.96	1.53
	2.14	1.44
AUSP-3	4.17	1.70
	4.36	1.75
	4.49	1.89
	4.54	2.07
	4.49	2.26
	4.36	2.40
	4.17	2.45
	3.98	2.40

Bauteil:	BW_10H120	Seite: 47
----------	-----------	-----------

Verfasser:	Dipl.- Ing. Michael Marbeck - 48301 Nottuln Ingenieurbüro für Tragwerksplanung	
Bauvorhaben:	Dresden	Datum: 03.08.2023

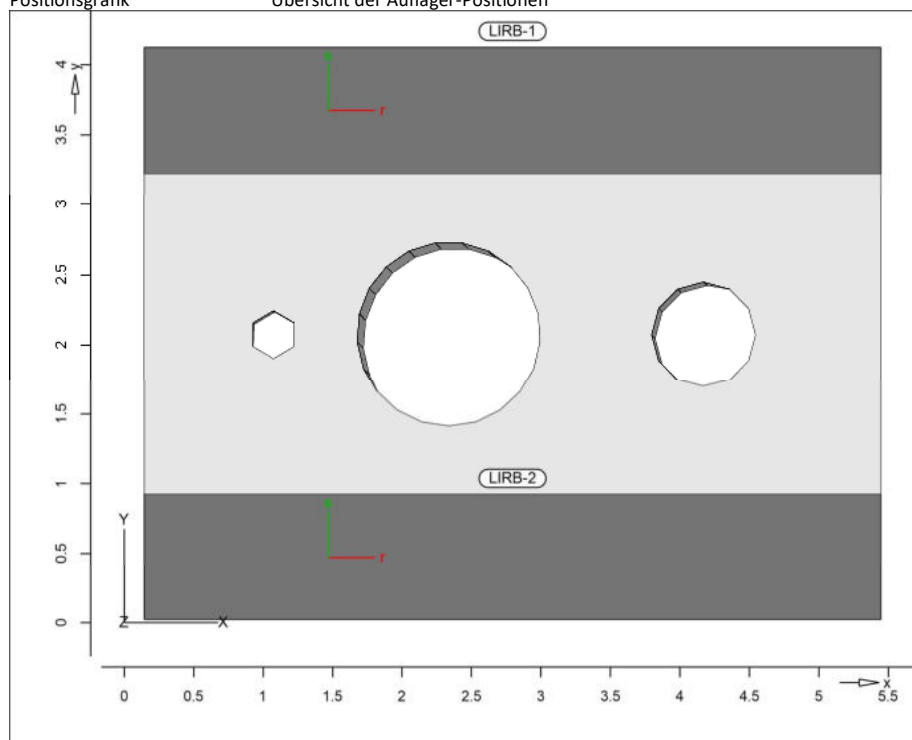
Position	x [m]	y [m]
	3.85	2.26
	3.79	2.07
	3.85	1.89
	3.98	1.75

Auflager

Auflager-Positionen

Positionsgrafik

Übersicht der Auflager-Positionen



Linienlager

Position	$K_{R,r}$ [kNm/rad/m]	$K_{R,s}$ [kNm/rad/m]	$K_{T,t}$ [kN/m/m]
LIRB-1, LIRB-2	frei	frei (+)	20000

Koordinaten

Position	x [m]	y [m]
LIRB-1	0.15	3.67
	5.45	3.67
LIRB-2	0.15	0.47
	5.45	0.47

Bauteil:	BW_10H120	Seite: 48
----------	-----------	-----------

Verfasser:	Dipl.- Ing. Michael Marbeck - 48301 Nottuln Ingenieurbüro für Tragwerksplanung	
Bauvorhaben:	Dresden	Datum: 03.08.2023

Material	Materialkennwerte				
Stahlbeton DIN EN 1992-1-1	Position	Material	Wichte	E_{cm}	f_{ck}
			[kN/m³]	[N/mm²]	f_{ctm}
				G	[N/mm²]
	SOHLE	C 40/50 Q	25.00	35000	40.00
				14600	3.50
	Q: Gesteinskörnung Quarzit				
Betonstahl DIN EN 1992-1-1	Position	Material	Wichte	E_s	f_{yk}
			[kN/m³]	[N/mm²]	f_{tk,cal}
				G	[N/mm²]
	SOHLE	B 500SB	78.50	200000	500.00
				77000	525.00
Auswertung	Geometrische Auswertung der Positionen				
Flächen	Flächenförmige Bauteil-Positionen				
Stahlbeton	Position	Dicke	Fläche	Volumen	
		[cm]	[m²]	[m³]	
	SOHLE	30.0	19.88	5.97	
Belastungen					

Bauteil:	BW_10H120	Seite: 49
----------	-----------	-----------

Verfasser:	Dipl.- Ing. Michael Marbeck - 48301 Nottuln Ingenieurbüro für Tragwerksplanung	
Bauvorhaben:	Dresden	Datum: 03.08.2023

Lastplan

Lasten des FE-Modells

Bauteillasten

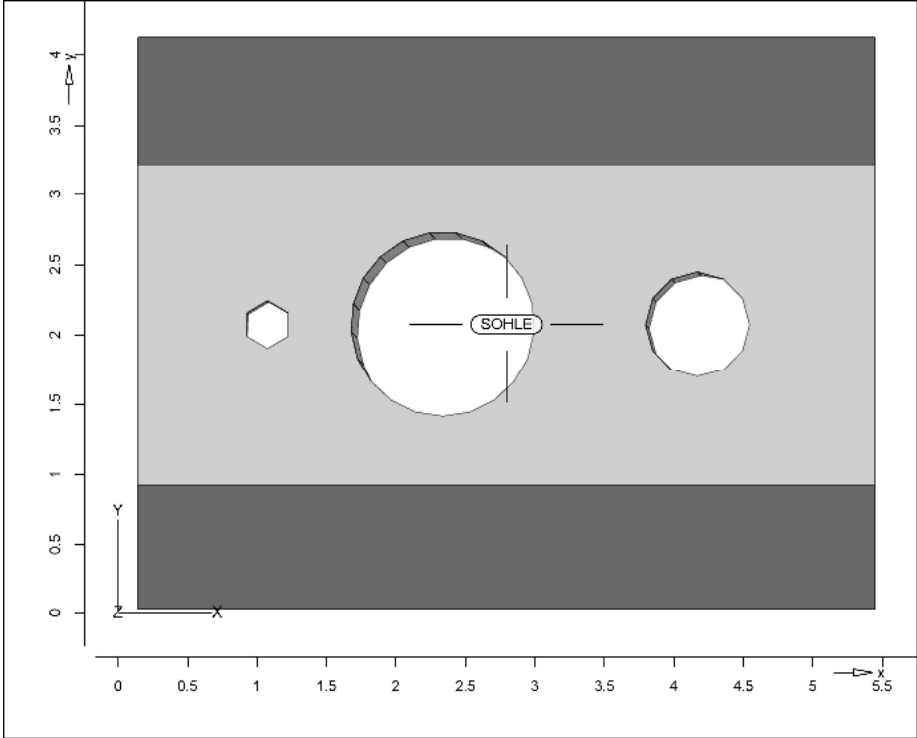
Bauteilbezogene Lasten

Flächenpositionen

Flächenförmige Bauteil-Positionen

Positionsgrafik

Übersicht der flächenförmigen Bauteil-Positionen



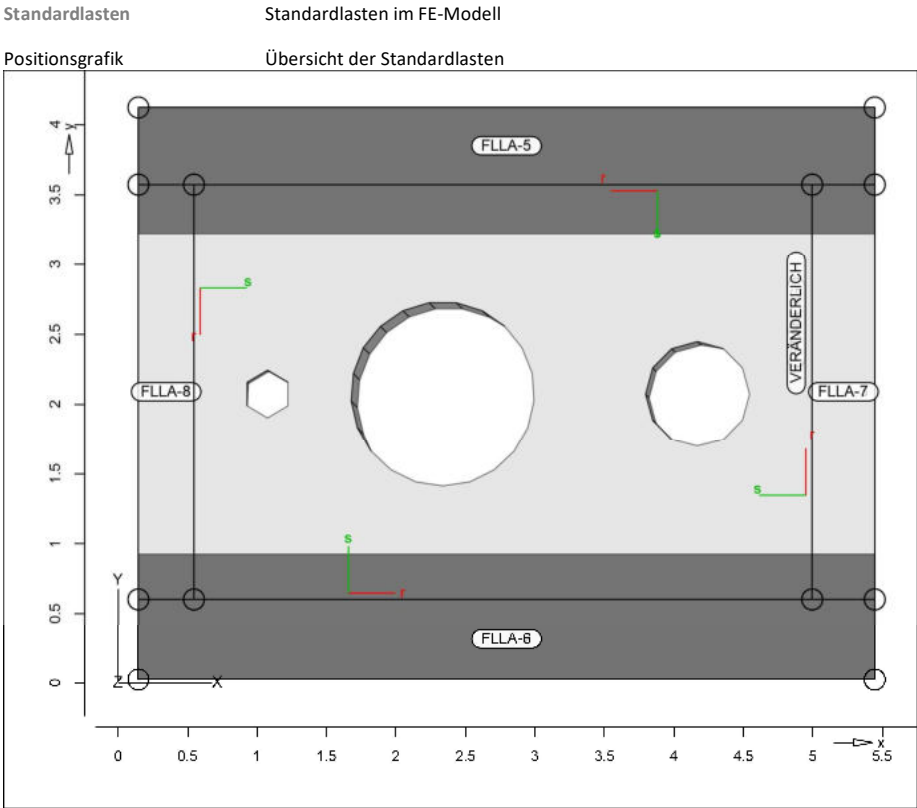
Eigengewicht

Position	EW	Lastfall	Art	g [kN/m²]
SOHLE	Gk	LF-1	PGr	7.50

PGr: Gravitationslast; positive Lasten wirken senkrecht nach unten

Bauteil:	BW_10H120	Seite: 50
----------	-----------	-----------

Verfasser:	Dipl.- Ing. Michael Marbeck - 48301 Nottuln	
	Ingenieurbüro für Tragwerksplanung	
Bauvorhaben:	Dresden	Datum: 03.08.2023



Linienlasten

Position	EW	Lastfall	Art	$p_{A,MA}$ [kN/m], [kNm/m]	$p_{E,ME}$
STÄNDIG	Gk	LF-1	pGr	33.90	33.90
VERÄNDERLICH	Qk.N	LF-2	pGr	56.45	56.45

pGr: Gravitationslast; positive Lasten wirken senkrecht nach unten

Gleichflächenlasten

Position	EW	Lastfall	Art	p [kN/m²]
FLLA-1	Gk	LF-1	PGr	28.71
FLLA-2	Gk	LF-1	PGr	28.71
FLLA-3	Gk	LF-1	PGr	28.71
FLLA-4	Gk	LF-1	PGr	28.71
FLLA-5	Qk.N	LF-2	PGr	45.36
FLLA-6	Qk.N	LF-2	PGr	45.36
FLLA-7	Qk.N	LF-2	PGr	45.36
FLLA-8	Qk.N	LF-2	PGr	45.36

PGr: Gravitationslast; positive Lasten wirken senkrecht nach unten

Einwirkungen

Bauteil:	BW_10H120	Seite: 51
----------	-----------	-----------

Verfasser:	Dipl.- Ing. Michael Marbeck - 48301 Nottuln Ingenieurbüro für Tragwerksplanung	
Bauvorhaben:	Dresden	Datum: 03.08.2023

DIN EN 1990

Einwirkungen nach DIN EN 1990

Kürzel	Beschreibung Typisierung
Gk	Eigenlasten Ständige Einwirkungen
Qk.N	Nutzlasten Kategorie A - Wohn- und Aufenthaltsräume

Lastfälle

Lastfälle und deren Zuordnung zu den Einwirkungen

Gk
Qk.N

LF-1
LF-2

Bemessung (GZT+GZG)

Biegung Pl-As-erf-Werte

Plattenbiegebemessung nach DIN EN 1992-1-1

SOHLE

Bemessung für Platte (Stahlbeton) SOHLE

Mat./Querschnitt

Beton **C 40/50**
Gesteinskörnung Quarzit
Betonstahl **B 500SB**

Dicke konstant h = 30.00 cm

Expositionsklasse

gemäß DIN EN 1992-1-1, Tab. 4.1

Position	Seite	KI	Kommentar
SOHLE	umlaufend b	XC4	wechselnd nass und trocken
		XF3	Hohe Wassersättigung ohne Taumittel
		XA2	Chemisch mäßig angreifende Umgebung und Meeresbauwerke
		WA	Häufig oder längere Zeit feuchter Beton mit Alkalizufuhr von außen

b: Verminderung des Vorhaltemaßes um 5 mm nach NDP Zu 4.4.1.3(3)

Bewehrung

Vorgaben zur Bewehrungsdefinition

Betondeckung	$c_{min,u}/c_{min,o}$	=	35 /	35	mm
	$\Delta c_{def,u}/\Delta c_{def,o}$	=	15 /	15	mm
	$c_{nom,u}/c_{nom,o}$	=	50 /	50	mm
Bewehrungsabstand	$d'_{ru/su}$	=	74 /	58	mm
	$d'_{ro/so}$	=	74 /	58	mm
Bewehrungsrichtung	$w_{ru/su}$	=	0.0 /	90.0	°
	$w_{ro/so}$	=	0.0 /	90.0	°

Nachweisparameter

nach DIN EN 1992-1-1

Mindestbewehrung (9.2.1.1) wurde berücksichtigt.

Rissbreitennachweis (7.3):

- Rissbreiten $w_{k,u/o}$ = 0.20/0.20 mm

Bauteil:	BW_10H120	Seite: 52
----------	-----------	-----------

Verfasser:	Dipl.- Ing. Michael Marbeck - 48301 Nottuln Ingenieurbüro für Tragwerksplanung	
Bauvorhaben:	Dresden	Datum: 03.08.2023

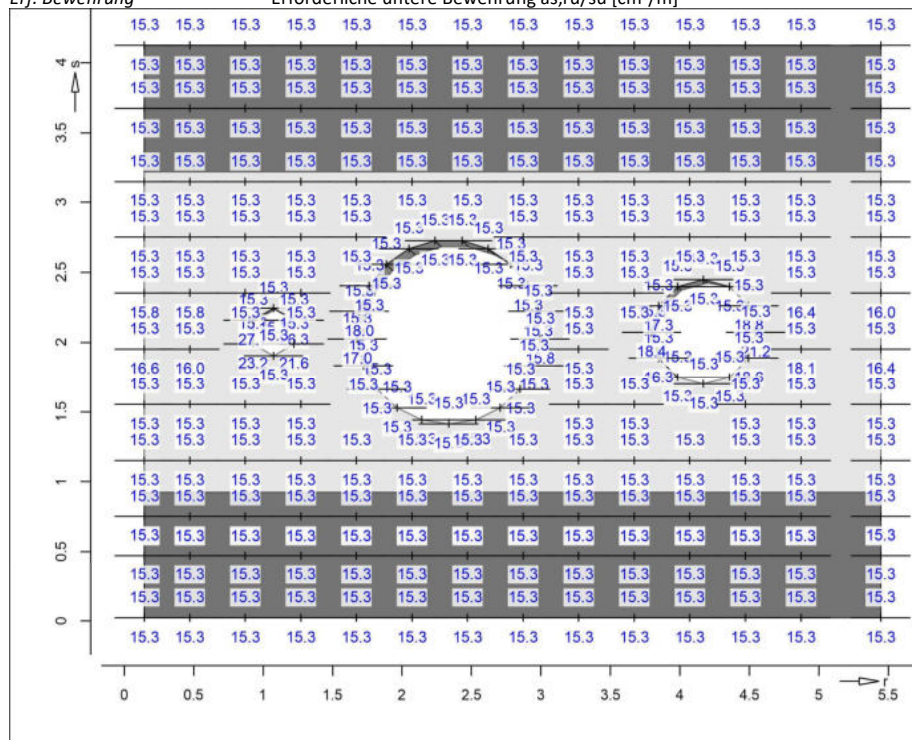
- Rissbew. (7.3.4) wurde ermittelt für Stab-Durchmesser:
 $d_{s,ru/su/ro/so} = 16.0/16.0/16.0/16.0 \text{ mm}$
- wirksame Betonzugfestigkeit bei Lastbeanspr.:
 $f_{ct,eff} = 2.45 \text{ N/mm}^2 (= 70.0 \% \text{ von } f_{ctm})$
- wirksame Betonzugfestigkeit bei Zwangbeanspr.:
 $f_{ct,eff} = 2.45 \text{ N/mm}^2 (= 70.0 \% \text{ von } f_{ctm})$
- Mindestbewehrung (7.3.2(2)):
(innerer Zugzwang)
 $a_{min,ru/su/ro/so} = 15.3/15.3/15.3/15.3 \text{ cm}^2/\text{m}$

as,unten

Erf. Bewehrung

Längsbewehrung in unterer Lage

Erforderliche untere Bewehrung $a_{s,ru/su} [\text{cm}^2/\text{m}]$

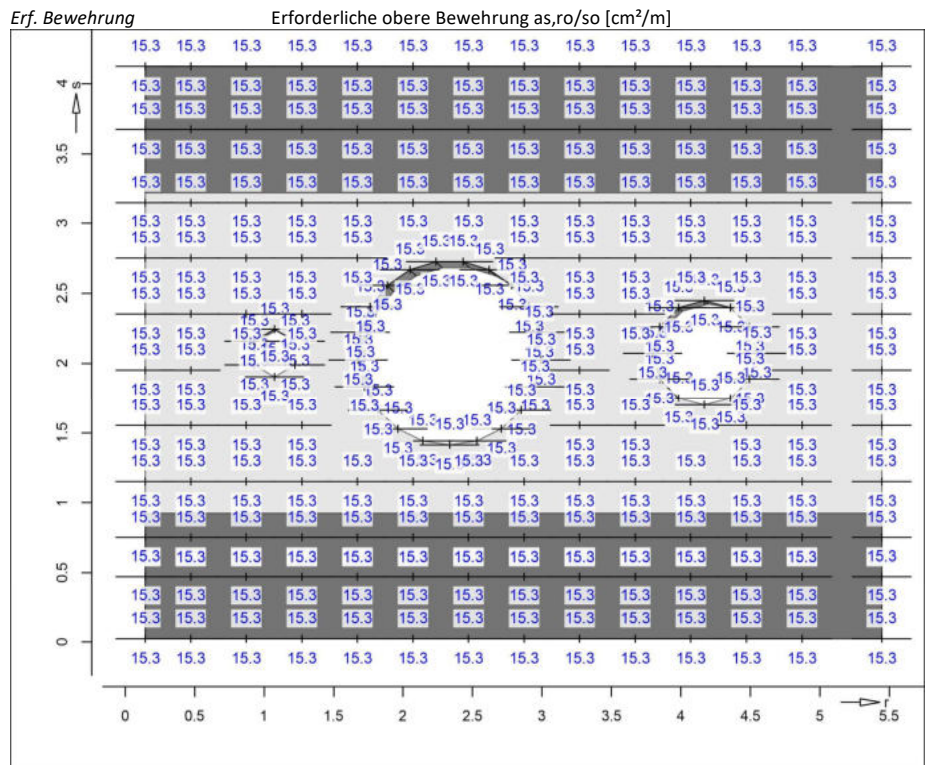


as,oben

Längsbewehrung in oberer Lage

Bauteil:	BW_10H120	Seite: 53
----------	-----------	-----------

Verfasser:	Dipl.- Ing. Michael Marbeck - 48301 Nottuln Ingenieurbüro für Tragwerksplanung	
Bauvorhaben:	Dresden	Datum: 03.08.2023



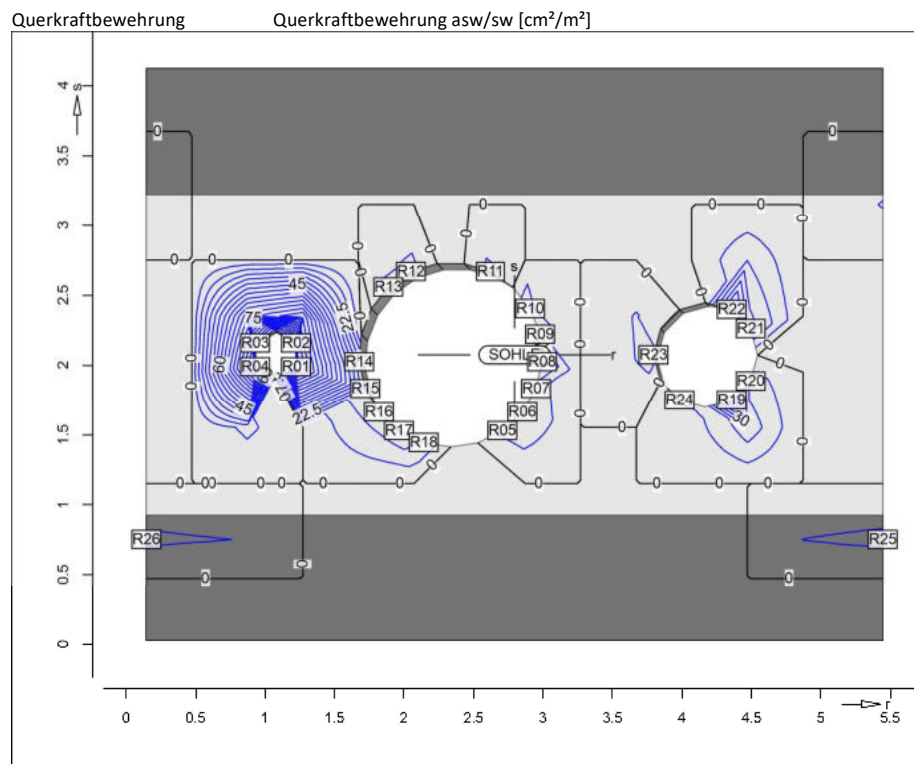
Bauteil:	BW_10H120	Seite: 54
----------	-----------	-----------

Verfasser:	Dipl.- Ing. Michael Marbeck - 48301 Nottuln Ingenieurbüro für Tragwerksplanung	
Bauvorhaben:	Dresden	Datum: 03.08.2023

Querkraft PI-As-Iso	Querkraftbemessung Plattenbereiche		
SOHLE	Querkraftbemessung der Platte (Isolinien)		
	Querkraftbemessung nach DIN EN 1992-1-1 Beton C 40/50, Betonstahl B 500SB Gesteinskörnung Quarzit Druckstrebenneigung wurde vom Programm optimiert. Mindestbewehrung (9.3.2) wurde nicht ermittelt.		
	Dicke konstant h = 30.00 cm		
Kombinationen	Maßgebende Kombinationen nach DIN EN 1990		
	Ew	Einwirkungsname	
	Lkn	Lastkombinationsnummer	
	!	vorherrschende veränderliche Einwirkung	
	Die Beteiligung einzelner Lastfälle innerhalb einer Einwirkung wird mit diesem Ausgabeformat nicht dokumentiert.		
Ew	Gk	Qk.N	
Lkn	Grundkombination		
1	1.35	1.50 !	

Bauteil:	BW_10H120	Seite: 55
----------	-----------	-----------

Verfasser:	Dipl.- Ing. Michael Marbeck - 48301 Nottuln Ingenieurbüro für Tragwerksplanung	
Bauvorhaben:	Dresden	Datum: 03.08.2023



Isolinienstufen = 7.50 cm²/m²

Punkt	x	y [m]		vEd	vEd,res	vRd,c	vRd,max [kN/m]	asw/sw	Summe [cm ² /m ²]	Lkn
R01	1.22	1.99	r	-8.9	1270.4	135.3 m	744.6	0.00	134.56	1
			s	1270.3		152.0	1320.0	134.56		
R02	1.22	2.16	r	-50.3	2817.7	135.3 m	744.6	***	***	1
			s	2817.3		162.5	1377.0	***		
R03	0.93	2.16	r	-230.2	2429.8	135.3 m	855.1	***	***	1
			s	2418.9		165.2	1377.0	***		
R04	0.93	1.99	r	-115.6	1295.2	135.3 m	744.6	0.00	136.90	1
			s	1290.1		155.7	1320.6	136.90		
R05	2.71	1.53	r	168.7	169.9	135.3 m	744.6	8.86	8.86	1
			s	20.4		141.3 m	826.2	0.00		
R06	2.85	1.66	r	165.7	220.5	135.3 m	744.6	8.70	15.59	1
			s	145.6		141.3 m	826.2	6.89		
R07	2.95	1.83	r	-114.3	246.3	135.3 m	744.6	0.00	10.33	1
			s	218.2		141.3 m	826.2	10.33		
R08	2.99	2.02	r	-321.9	334.5	135.3 m	1019.4	26.52	26.52	1

Bauteil:	BW_10H120	Seite: 56
----------	-----------	-----------

Verfasser:	Dipl.- Ing. Michael Marbeck - 48301 Nottuln	
	Ingenieurbüro für Tragwerksplanung	
Bauvorhaben:	Dresden	Datum: 03.08.2023

Punkt	x	y [m]	vEd	vEd,res	vRd,c	vRd,max [kN/m]	asw/sw	Summe [cm²/m²]	Lkn
		s	90.9		141.3 m	826.2	0.00		
R09	2.98	2.22 r	-202.5	244.1	135.3 m	756.7	10.85	10.85	1
		s	-136.3		141.3 m	826.2	0.00		
R10	2.91	2.40 r	-154.3	219.4	135.3 m	744.6	8.10	15.49	1
		s	-156.0		141.3 m	826.2	7.38		
R11	2.62	2.67 r	179.5	195.6	135.3 m	744.6	9.43	9.43	1
		s	77.7		141.3 m	826.2	0.00		
R12	2.05	2.67 r	-197.6	199.1	135.3 m	744.6	10.38	10.38	1
		s	-23.7		141.3 m	826.2	0.00		
R13	1.89	2.56 r	-191.3	218.7	135.3 m	744.6	10.04	10.04	1
		s	-106.1		141.3 m	826.2	0.00		
R14	1.68	2.02 r	92.5	365.1	135.3 m	744.6	0.00	26.05	1
		s	353.1		141.3 m	1126.7	26.05		
R15	1.72	1.83 r	4.9	310.1	135.3 m	744.6	0.00	20.96	1
		s	310.1		141.3 m	1068.8	20.96		
R16	1.82	1.66 r	-180.8	283.5	135.3 m	744.6	9.49	19.82	1
		s	218.3		141.3 m	826.2	10.33		
R17	1.96	1.53 r	-297.8	297.9	135.3 m	990.4	23.36	23.36	1
		s	-5.4		141.3 m	826.2	0.00		
R18	2.14	1.44 r	-228.0	258.1	135.3 m	848.7	14.20	14.20	1
		s	-121.0		141.3 m	826.2	0.00		
R19	4.36	1.75 r	493.0	539.5	135.3 m	1120.0	48.99	59.35	1
		s	-218.9		141.3 m	826.2	10.36		
R20	4.49	1.89 r	203.8	246.2	135.3 m	762.2	11.02	11.02	1
		s	138.1		144.7	826.2	0.00		
R21	4.49	2.26 r	315.1	322.5	135.3 m	1011.9	25.64	25.64	1
		s	-68.7		145.2	826.2	0.00		
R22	4.36	2.40 r	510.2	526.9	135.3 m	1125.1	51.24	51.24	1
		s	131.7		141.3 m	826.2	0.00		
R23	3.79	2.07 r	191.6	197.4	135.3 m	744.6	10.06	10.06	1
		s	-47.5		144.2	826.2	0.00		
R24	3.98	1.75 r	-153.2	195.6	135.3 m	744.6	8.04	8.04	1
		s	-121.7		141.3 m	826.2	0.00		
R25	5.45	0.75 r	22.7	199.1	135.3 m	744.6	0.00	9.36	1
		s	197.8		141.3 m	826.2	9.36		
R26	0.15	0.75 r	-20.8	192.3	135.3 m	744.6	0.00	9.05	1
		s	191.2		141.3 m	826.2	9.05		

m: Mindestwert nach DIN EN 1992-1-1, Gl.(6.2.b) maßgebend
 ***: Querkraftversagen

Bauteil:	BW_10H120	Seite: 57
----------	-----------	-----------

Verfasser:	Dipl.- Ing. Michael Marbeck - 48301 Nottuln	
	Ingenieurbüro für Tragwerksplanung	
Bauvorhaben:	Dresden	Datum: 03.08.2023

Linienlasten Fundament

Linienlager-EW

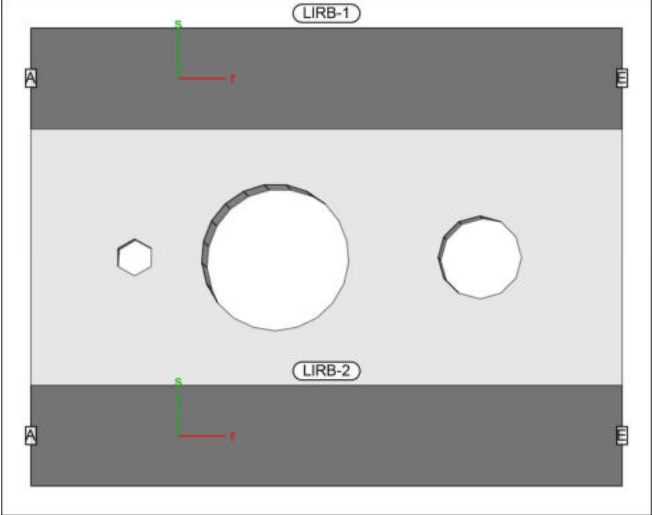
Linienlagerkräfte einwirkungsweise

Linienlagerkräfte

Auflagerkräfte des Modells
 - charakteristische Auflagerkräfte je Einwirkung
 - min/max Überlagerung der Lastfälle je Einwirkung

Positionsgrafik

Übersicht der Linien- und Wandlager-Positionen



Tabelle

Tabellarische Ausgabe der Auflagerkräfte

lokal, F, t-Achse

EW	F _{t,A,min} F _{t,A,max} [kN/m]	F _{t,M,min} F _{t,M,max} [kN/m]	F _{t,E,min} F _{t,E,max} [kN/m]	F _{t,min} F _{t,max} [kN]	e _{min} e _{max} [m]
LIRB-1	(L = 5.30 m)				
Gk	84.91	84.70	84.49	448.89	0.00
Qk.N	0.00	0.00	0.00	0.00	0.00
	116.33	115.67	115.02	613.06	-0.01
LIRB-2	(L = 5.30 m)				
Gk	84.68	84.48	84.28	447.74	0.00
Qk.N	0.00	0.00	0.00	0.00	0.00
	115.89	115.25	114.61	610.83	0.00

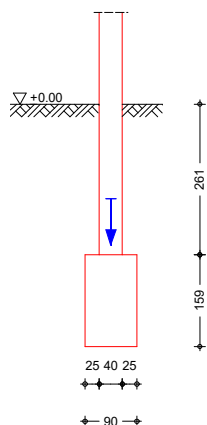
Bauteil:	BW_10H120	Seite: 58
----------	-----------	-----------

Verfasser:	Dipl.- Ing. Michael Marbeck - 48301 Nottuln Ingenieurbüro für Tragwerksplanung	
Bauvorhaben:	Dresden	Datum: 03.08.2023

Bemessung Fundament

Pos. 1 Rand-Streifenfundament

System Ausmittig belastetes Streifenfundament
M 1:90



Fundament (konstr. bewehrt)	Fundamentbreite	$b_F =$	90.00	cm
	Fundamentdicke	$h_F =$	159.00	cm
	Einbindetiefe des Fundaments	$d =$	420.00	cm
Wand aus Mauerwerk	Wanddicke	$d_W =$	40.00	cm
	lichte Wandhöhe	$h_W =$	234.00	cm
	Fundamentüberstand	$a_W =$	25.00	cm

Einwirkungen Einwirkungen nach DIN EN 1990:2010-12

Gk	Eigenlasten
Qk.N	Ständige Einwirkungen
	Nutzlasten
	Kategorie A - Wohn- und Aufenthaltsräume
Gk.A	# Eigenlast Fundament
	Ständige Einwirkungen
	# Die Einwirkung wurde automatisch generiert.

Belastungen	Einwirkung	F_v	F_h	M
		[kN/m]	[kN/m]	[kNm/m]
	Gk.A	35.78		
	Gk	84.70		
	Qk.N	115.67		

Gk.A: F_v	Eigengew. Fundament	$25.0 \cdot 0.90 \cdot 1.59 =$	35.77	kN/m
-------------	---------------------	--------------------------------	-------	------

Kombinationen Kombinationsbildung nach DIN EN 1997-1:2014-03
Darstellung der maßgebenden Kombinationen

Bauteil:	BW_10H120	Seite: 59
----------	-----------	-----------

Verfasser:	Dipl.- Ing. Michael Marbeck - 48301 Nottuln	
	Ingenieurbüro für Tragwerksplanung	
Bauvorhaben:	Dresden	Datum: 03.08.2023

	Ek	$\Sigma (\gamma \cdot \psi \cdot EW)$		
GZ SLS	6	1.00*Gk	+1.00*Qk.N	+1.00*Gk.A
GZ GEO-2, BS-P	8	1.35*Gk	+1.50*Qk.N	+1.35*Gk.A
GZ STR, BS-P	10	1.35*Gk	+1.50*Qk.N	+1.35*Gk.A

Standssicherheit nach DIN EN 1997-1:2014-03

Lagesicherheit nach DIN 1054:2010-12, GZ EQU

Ausmittigkeit	Ek	e [cm]	b/2 [cm]
	1	0.00	≤ 45.00
	2	0.00	≤ 45.00
	3	0.00	≤ 45.00
	4	0.00	≤ 45.00

1. Kernweite nach DIN EN 1997-1:2014-03, GZ SLS

Ausmittigkeit	Ek	e [cm]	b/6 [cm]
	5	0.00	≤ 15.00

2. Kernweite nach DIN EN 1997-1:2014-03, GZ SLS

Ausmittigkeit	Ek	e [cm]	b/3 [cm]
	6	0.00	≤ 30.00
	7	0.00	≤ 30.00

Sohldruck nach DIN 1054:2010-12, GZ GEO-2

Ausmittigkeit	Ek	e [cm]	b' [cm]	σ_1 [kN/m²]	σ_2 [kN/m²]	$\sigma_{E,d}$ [kN/m²]	$\sigma_{R,d}$ [kN/m²]
Sohldruck	8	0.00	90.00	373.50	373.50	373.50	≤ 400.00
	9	0.00	90.00	180.71	180.71	180.71	≤ 400.00

Bem.-schnittgrößen

Ek	Sohldruck		Fundament	
	$\sigma_{1,d}$ [kN/m²]	$\sigma_{2,d}$ [kN/m²]	max m_{Ed} [kNm/m]	min m_{Ed} [kNm/m]
10	373.50	373.50	32.38	9.99

Bemessung (GZT)

nach DIN EN 1992-1-1:2011-01
Querkraftnachweis am Auflagerrand
DIN EN 1992-1-1, 9.2.1.1

Beton C 40/50	E_{cm}	=	35000	N/mm²
Elastizitätsmodul	$f_{ctk,0,05}$	=	2.50	N/mm²
Betonzugfestigkeit	γ	=	25.00	kN/m³
Wichte	f_{yk}	=	500.00	N/mm²
Stabstahl B 500SA				

**Betondeckung/
Bewehrungsabstand**

Bauteil	Seite	Expositions- klassen	c_{min} [mm]	Δc_{dev} [mm]	c_{nom} [mm]	d' [cm]
Fundament	unten	XC4, XF3, XA2, WF	25	15	40	4.8
	oben	XC4, XF3, XA2, WF	25	15	40	4.8

Bauteil:	BW_10H120	Seite: 60
----------	-----------	-----------

Verfasser:	Dipl.- Ing. Michael Marbeck - 48301 Nottuln	
	Ingenieurbüro für Tragwerksplanung	
Bauvorhaben:	Dresden	Datum: 03.08.2023

Nachweis Fundament	unbewehrte Ausführung nach DIN EN 1992-1-1, 12.9.3	
	max. Bemessungswert Moment	$m_{Ed} = 32.38 \text{ kNm/m}$
	Widerstandsmoment mit reduzierter Fundamentdicke $0.85 \cdot h_F$	$W_{c,eff} = 3044.3 \text{ cm}^2$
	Bemessungswert Betonzugspann.	$\sigma_{ctd} = 0.11 \text{ N/mm}^2$
	Beiwert	$\alpha_{ct} = 0.85$
	Bemessungswert Betonzugf.	$f_{ctd} = 1.25 \text{ N/mm}^2$

Nachweise	Verhältnis h_F/a	$6.36 \geq 1.00$
	Betonzugfestigkeit	$0.11 \leq 1.25$

Bewehrungswahl	Bauteil	Lage	d_s	s	Matte	erf a_s	vorh a_s
			[mm]	[cm]		[cm²/m]	[cm²/m]
	Fundament	unten	ø16	25.0		0.00	8.04
	Fundament	oben	ø16	25.0		0.00	8.04

Zusammenfassung Zusammenfassung der Nachweise

Nachweise (GZT) Nachweise im Grenzzustand der Tragfähigkeit

Nachweis	η
	[-]
Sohldruck	OK 0.93

Nachweise (GZG) Nachweise im Grenzzust. der Gebrauchstauglichkeit

Nachweis	η
	[-]
1. Kernweite	OK 0.00
2. Kernweite	OK 0.00

Bauteil:	BW_10H120	Seite: 61
----------	-----------	-----------